



2022

Influenza and ORV Report EW 47/ Reporte de Influenza y OVR SE 47



Data as of 2 December 2022 – Datos hasta el 2 de diciembre del 2022

Regional Update: Influenza and Other Respiratory Viruses /
Actualización Regional: Influenza y otros virus respiratorios



WEEKLY REPORT DATA SOURCES

The information presented in this update is based on data provided by Ministries of Health and National Influenza Centers of Member States to the global informatics platforms FluNet and FluID; and reports/weekly bulletins that Ministries of Health published on its website or shared with PAHO/WHO.

Compared to the same period of the previous years, the current influenza surveillance data should be interpreted in light of the ongoing COVID-19 pandemic, which may have influence, to differing extents, health seeking behaviors, staffing/routines in sentinel sites, and testing capacities in Member States.

© Pan American Health Organization, 2022

Some rights reserved. This work is available under license CC BY-NC-SA 3.0 IGO.

La información presentada en esta actualización se obtiene a partir de los datos notificados por los Ministerios de Salud y los Centros Nacionales de Influenza de los Estados Miembros a las plataformas informáticas globales de la OPS/OMS: FluNet y FluID; y de los informes/boletines semanales que los Ministerios de Salud publican en sus páginas web o comparten con la OPS/OMS.

En comparación con el mismo período de los años anteriores, los datos actuales de vigilancia de la influenza deben interpretarse a la luz de la pandemia de COVID-19 en curso, que puede tener influencia en diferentes grados, comportamientos de búsqueda de salud, personal / rutinas en sitios centinela, y capacidades de prueba en los Estados Miembros.

© Organización Panamericana de la Salud, 2022

Algunos derechos reservados. Esta obra está disponible en virtud de la licencia CC BY-NC-SA 3.0 IGO.

PAHO interactive data / Datos interactivos de la OPS:

PAHO FluNet: http://ais.paho.org/hip/viz/ed_flu.asp

PAHO FluID: <http://ais.paho.org/hip/viz/flumart2015.asp>

Influenza Situation Report / Informe de situación de influenza

In English: <https://www.paho.org/hq/influenzareport>

En español: www.paho.org/reportesinfluenza

Severe acute respiratory infections network – SARI*net* plus

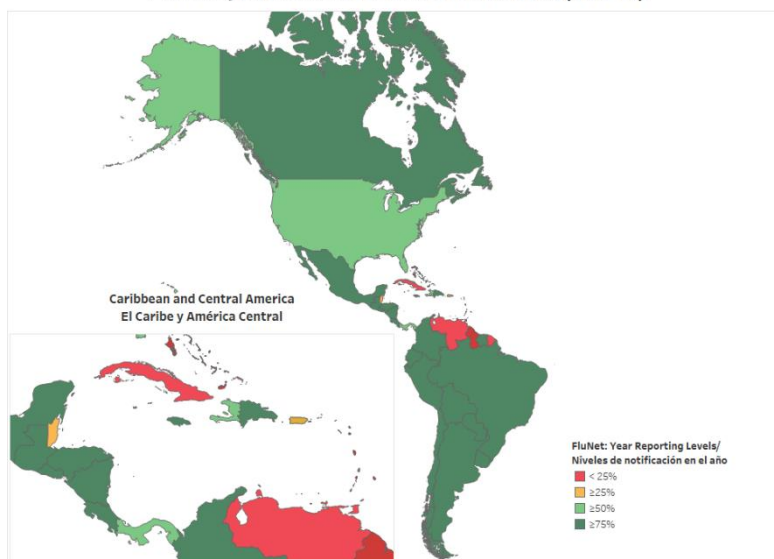
Red de las infecciones respiratorias agudas graves – SARI*net* plus

<http://www.sarinet.org>

[Go to Index](#) / [Ir al Índice](#)

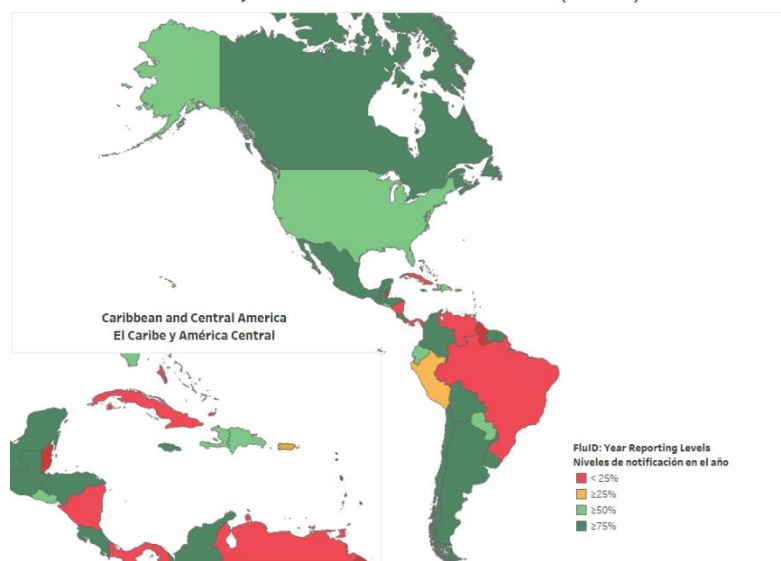


Reporting percentage to FluNet during 2022 (EW 1-47)
Porcentaje de notificación a FluNet en el 2022 (SE 1-47)



fluID

Reporting Percentage to fluID during 2022 (EW 1-47)
Porcentaje de notificación a fluID en el 2022 (SE 1-47)



REPORT INDEX ÍNDICE DE LA ACTUALIZACIÓN

Weekly summary / Resumen semanal	5
Regional summary - Overall influenza and RSV circulation / Resumen regional - Circulación general de los virus influenza y VRS.....	7
Overall other respiratory virus circulation and SARS-CoV-2 variants of concern / Circulación general de otros virus respiratorios y variantes de preocupación del SARS-CoV-2.....	8
Weekly and cumulative numbers / Números semanales y acumulados:	9
Epidemiological and virologic updates by country / Actualización epidemiológica y virológica por país	11
North America / América Del Norte	12
Caribbean / Caribe	17
Central America / América Central.....	28
South America / América Del Sur – Andean Countries / Países Andinos	35
South America / América Del Sur / South Cone And Brazil / Cono Sur Y Brasil	39
Technical note / Nota técnica	47
Acronyms	48
Acrónimos.....	48





WEEKLY SUMMARY

North America: Influenza activity continues moderate in the subregion. Influenza A(H3N2) predominated with the co-circulation of A(H1N1)pdm09 and B/Victoria. Low SARS-CoV-2 activity was reported but increasing, while RSV activity was moderate overall. In [Canada](#), influenza activity and most surveillance indicators continue to increase. [Mexico](#) experiences extraordinary influenza activity for this period, with surveillance indicators at low-intensity levels. Increased influenza and RSV activity was reported across the [United States](#), with the influenza-associated cumulative hospitalization rate at higher levels than in previous seasons (2010-21).

Caribbean: Influenza activity continues moderate across the subregion with A(H3N2) virus predominance. In contrast, SARS-CoV-2 activity remained low. In addition, the [Dominican Republic](#) and [Puerto Rico](#) have shown increased influenza activity but continue at low-intensity levels, while [Guadeloupe](#) and [Martinique](#) recorded increased RSV activity.

Central America: Influenza activity is increasing with the predominance of influenza A(H3N2) and the co-circulation of influenza B (lineage undetermined). SARS-CoV-2 activity remained low in the subregion, but it increased in [El Salvador](#) and [Panama](#). In addition, in [Guatemala](#) and [Honduras](#), influenza activity increased, albeit RSV activity continues to be high in [Guatemala](#) and [Panama](#).

Andean: Influenza activity has recently increased with the predominance of influenza A(H3N2) and co-circulation of influenza A(H1N1)pdm09 and B/Victoria. Overall, SARS-CoV-2 and RSV activity was low in the subregion, except in [Peru](#), where SARS-CoV-2 activity was high. In [Bolivia](#), increased influenza activity was reported with influenza A(H1N1)pdm09 predominance and co-circulation of B/Victoria and A(H3N2) viruses; SARI activity increased, with 15% influenza-associated hospitalizations. Influenza activity was at moderate-intensity levels in [Ecuador](#), with severity indicators continuing at a low level.

Brazil and Southern Cone: Influenza activity continues elevated in the subregion for this time of year, with influenza A(H3N2) predominance and co-circulation of influenza A(H1N1)pdm09 and influenza B/Victoria. In addition, [Argentina](#) and [Paraguay](#) reported increased influenza activity with influenza B (lineage undetermined) predominance, [Chile](#) with A(H3N2) predominance, and [Uruguay](#) with B/Victoria predominance. SARS-CoV-2 activity has increased recently, with high activity in [Brazil](#) and [Chile](#). Elevated RSV activity was reported in [Brazil](#), but with a decreasing trend.





RESUMEN SEMANAL

Weekly / Semanal

6

América del Norte: la actividad de influenza continúa moderada en la subregión. Predominó influenza A(H3N2) con circulación concurrente de A(H1N1)pdm09 y B/Victoria. Se reportó una baja actividad de SARS-CoV-2 pero con tendencia creciente, mientras que la actividad del VRS estuvo moderada en general. En [Canadá](#), la actividad de la influenza y la mayoría de los indicadores de la vigilancia continúan aumentando. [México](#) experimenta una actividad de influenza extraordinaria para este período, con indicadores de la vigilancia en niveles de baja intensidad. Se reportó un aumento de la actividad de la influenza y del VRS en los [Estados Unidos](#), con una tasa de hospitalización acumulada asociada a la influenza en niveles más altos que en temporadas previas (2010-21).

Caribe: la actividad de la influenza sigue siendo moderada en toda la subregión con predominio del virus A(H3N2). Por el contrario, la actividad del SARS-CoV-2 se mantuvo baja. Además, la [República Dominicana](#) y [Puerto Rico](#) han mostrado una mayor actividad de influenza pero continúan en niveles de baja intensidad, mientras que [Guadalupe](#) y [Martinica](#) registraron una mayor actividad del VRS.

América Central: la actividad de la influenza está en aumento con el predominio de influenza A(H3N2) y la circulación concurrente de influenza B (linaje indeterminado). La actividad del SARS-CoV-2 permaneció baja en la subregión, pero aumentó en [El Salvador](#) y [Panamá](#). Además, en [Guatemala](#) y [Honduras](#) aumentó la actividad de la influenza, mientras que la actividad del VRS sigue siendo alta en [Guatemala](#) y [Panamá](#).

Países Andinos: la actividad de la influenza ha aumentado recientemente con el predominio de influenza A(H3N2) y circulación concurrente de influenza A(H1N1)pdm09 y B/Victoria. En general, la actividad del SARS-CoV-2 y del VRS estuvo baja en la subregión, excepto en [Perú](#), donde la actividad del SARS-CoV-2 estuvo alta. En [Bolivia](#) se reportó un aumento de actividad de la influenza con predominio de influenza A(H1N1)pdm09 y circulación conjunta de los virus B/Victoria y A(H3N2); la actividad de la IRAG aumentó, con un 15 % de hospitalizaciones asociadas a la influenza. La actividad de influenza estuvo en niveles de intensidad moderada en [Ecuador](#), con indicadores de severidad en un nivel bajo.

Brasil y Cono Sur: la actividad de la influenza continúa elevada en la subregión para esta época del año, con predominio de influenza A(H3N2) y circulación concurrente de influenza A(H1N1)pdm09 e influenza B/Victoria. Además, [Argentina](#) y [Paraguay](#) reportaron un aumento de la actividad de la influenza con predominio de influenza B (linaje indeterminado), [Chile](#) con predominio de A(H3N2) y [Uruguay](#) con predominio de B/Victoria. La actividad del SARS-CoV-2 ha aumentado recientemente, con una alta actividad en [Brasil](#) y [Chile](#). En [Brasil](#) se notificó una actividad elevada del VRS, pero con una tendencia a la baja.



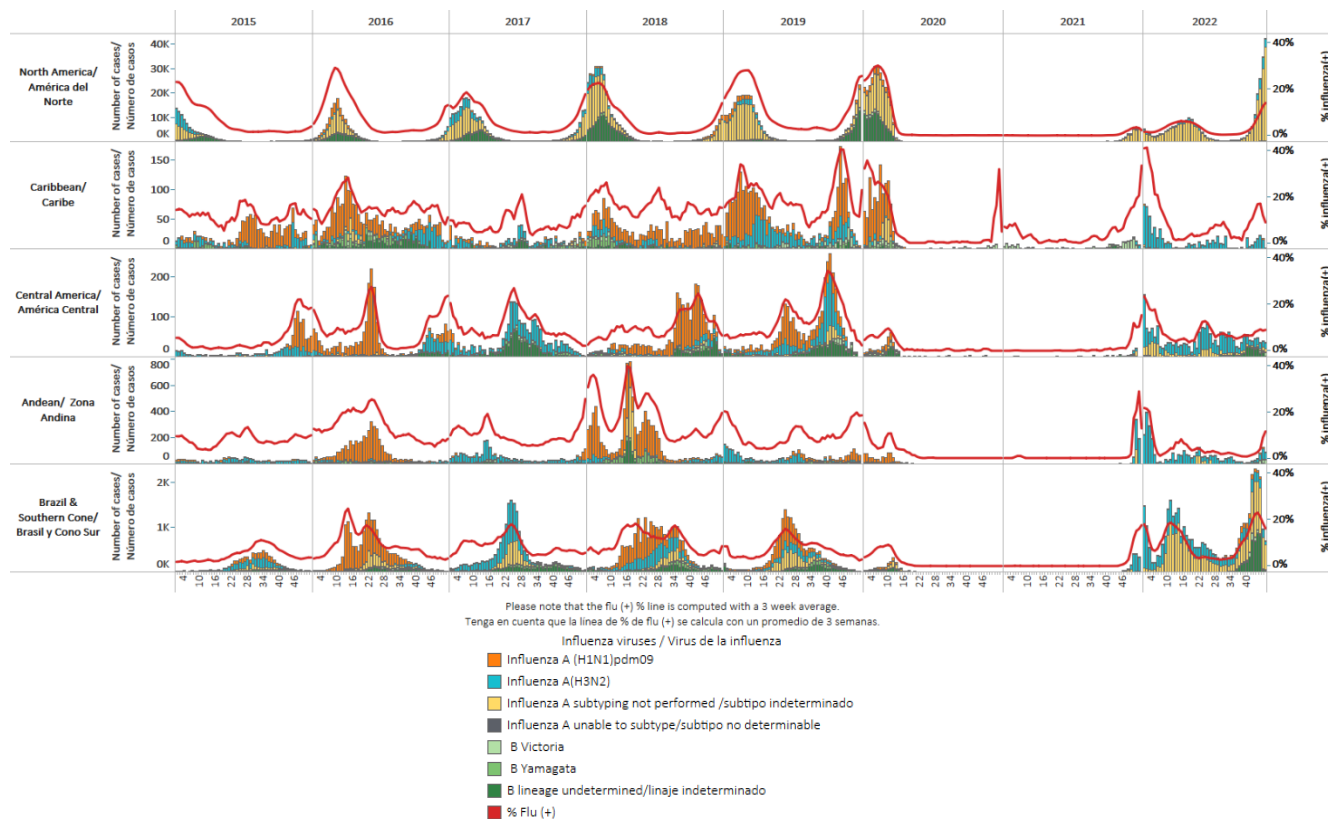
SARinet plus
Severe Acute Respiratory Infections Network



REGIONAL SUMMARY / RESUMEN REGIONAL

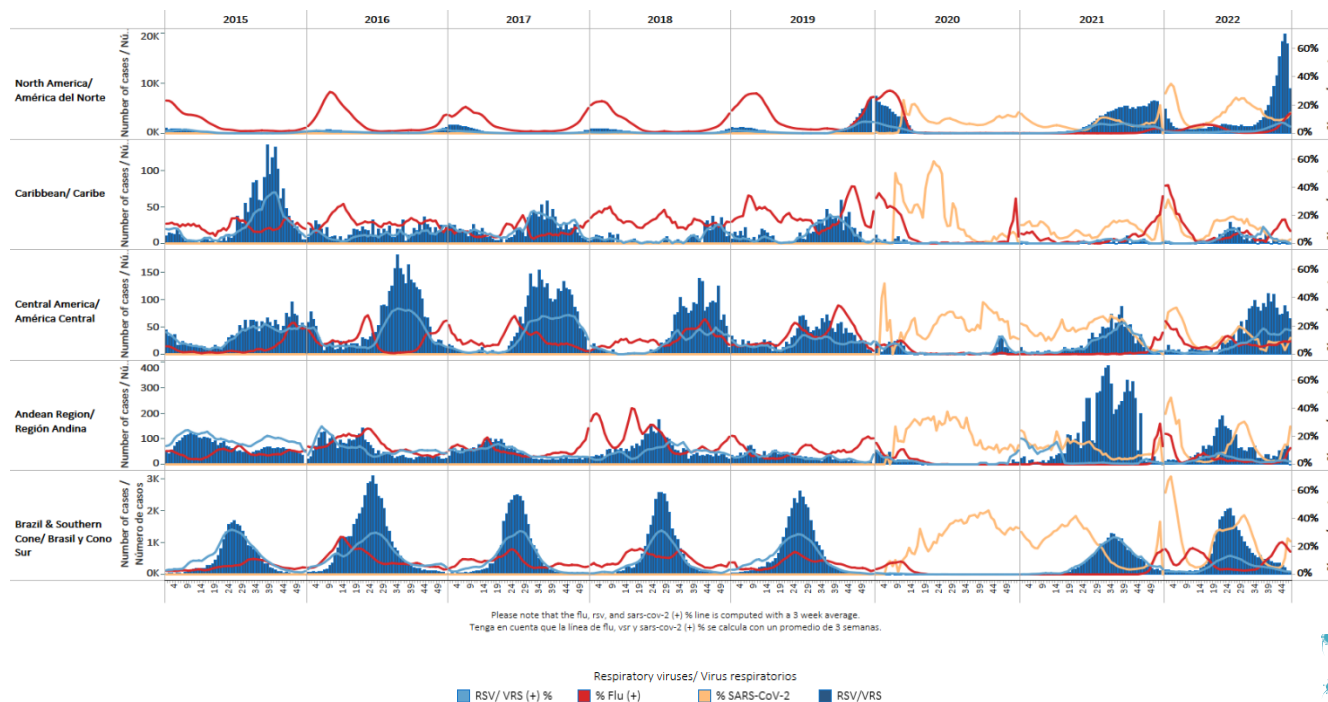
Influenza circulation by subregion, 2015-2022

Circulación virus influenza por subregión, 2015-2022



Respiratory syncytial virus (RSV) circulation by Subregion, 2015-2022

Circulación virus respiratorio sincitial (VRS) por subregión, 2015-2022

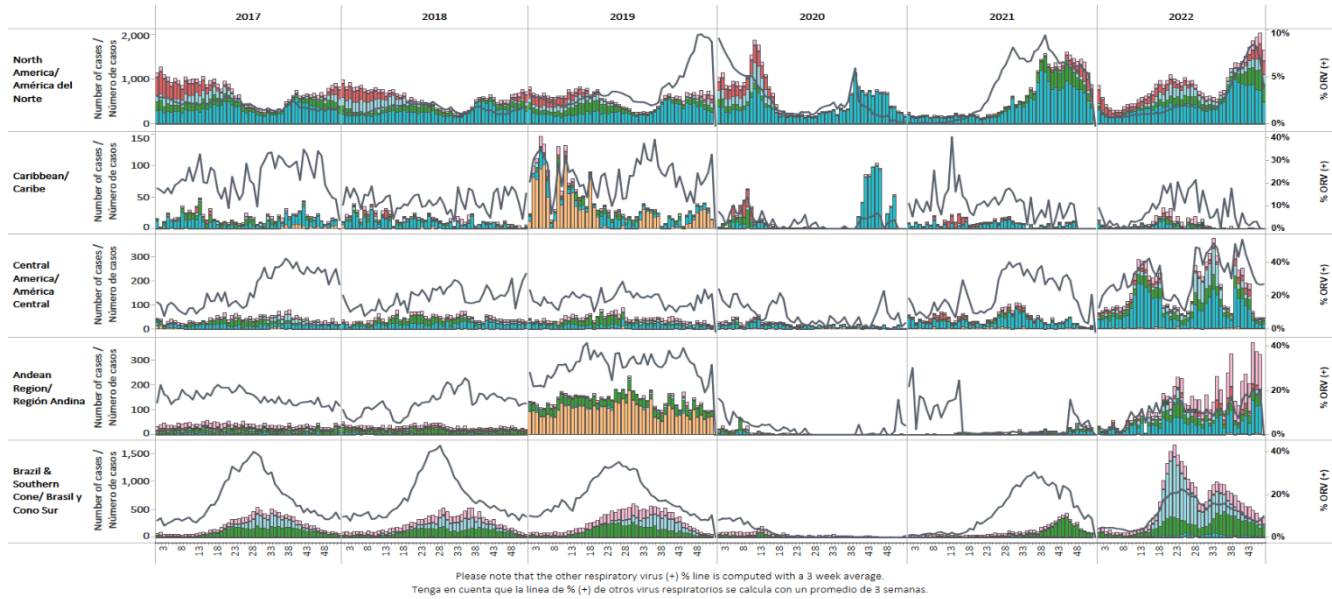




REGIONAL SUMMARY / RESUMEN REGIONAL

Other respiratory viruses (ORV) circulation by subregion, 2017-22

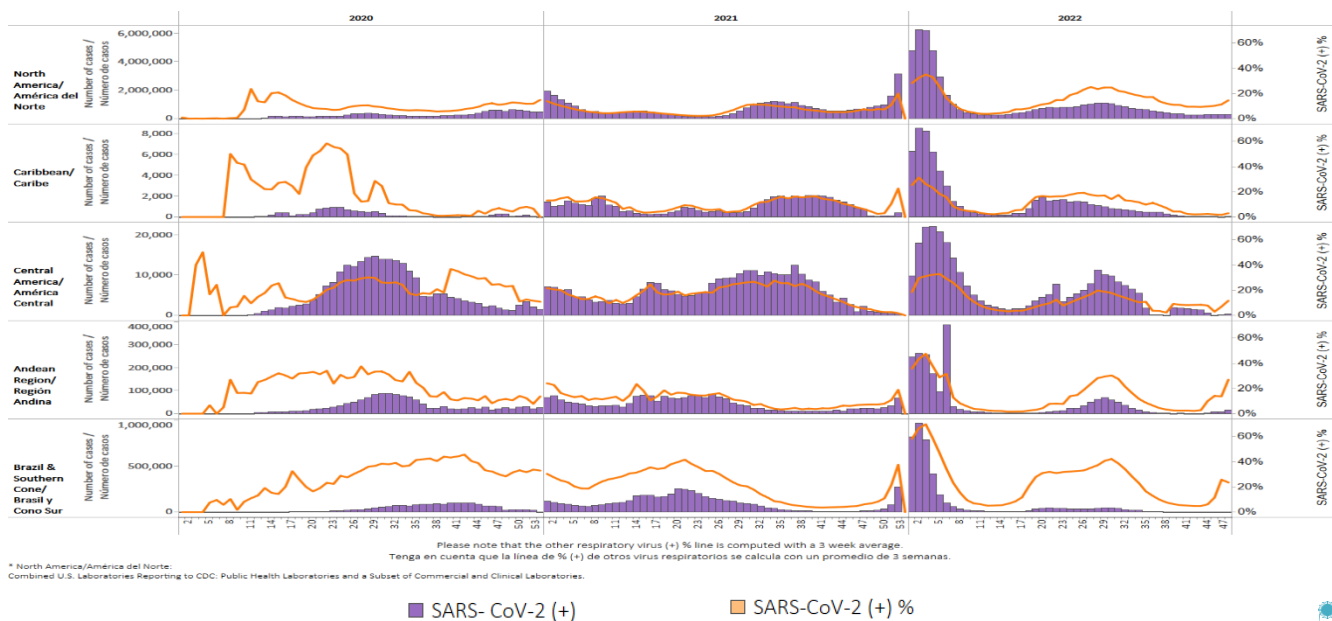
Circulación de otros virus respiratorios (OVR) por subregión, 2017-22



Respiratory viruses / Virus respiratorios
Adenovirus Bocavirus Coronavirus Metapneumovirus Parainfluenza Rhinovirus Other viruses/Ot.. % Other Respirat..

SARS-CoV-2 circulation by Subregion, 2020 – 2022

Circulación de SARS-CoV-2 por subregión, 2020 – 2022



* North America/América del Norte:
Combined U.S. Laboratories Reporting to CDC, Public Health Laboratories and a Subset of Commercial and Clinical Laboratories.

SARS-CoV-2 (+) SARS-CoV-2 (+) %



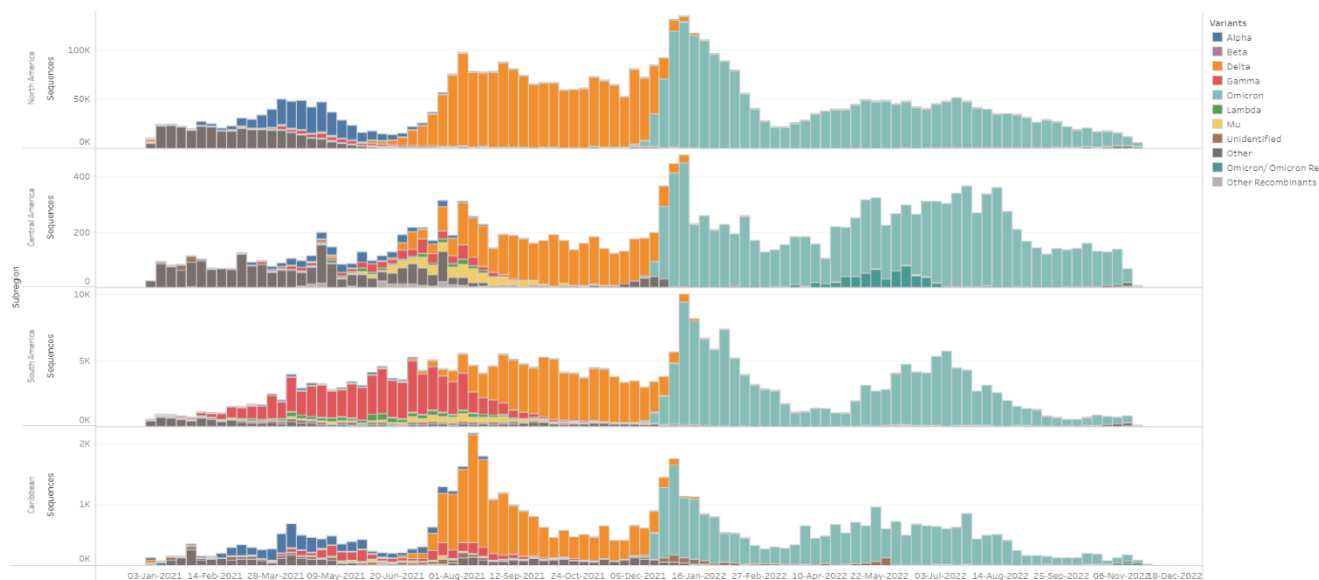
SARInet plus
Severe Acute Respiratory Infections Network



REGIONAL SUMMARY / RESUMEN REGIONAL

SARS-CoV-2 Variants of Concern by Subregion, December 2020 – November 2022

Variantes de preocupación del SARS-CoV-2 por subregión, diciembre de 2020 – noviembre de 2022

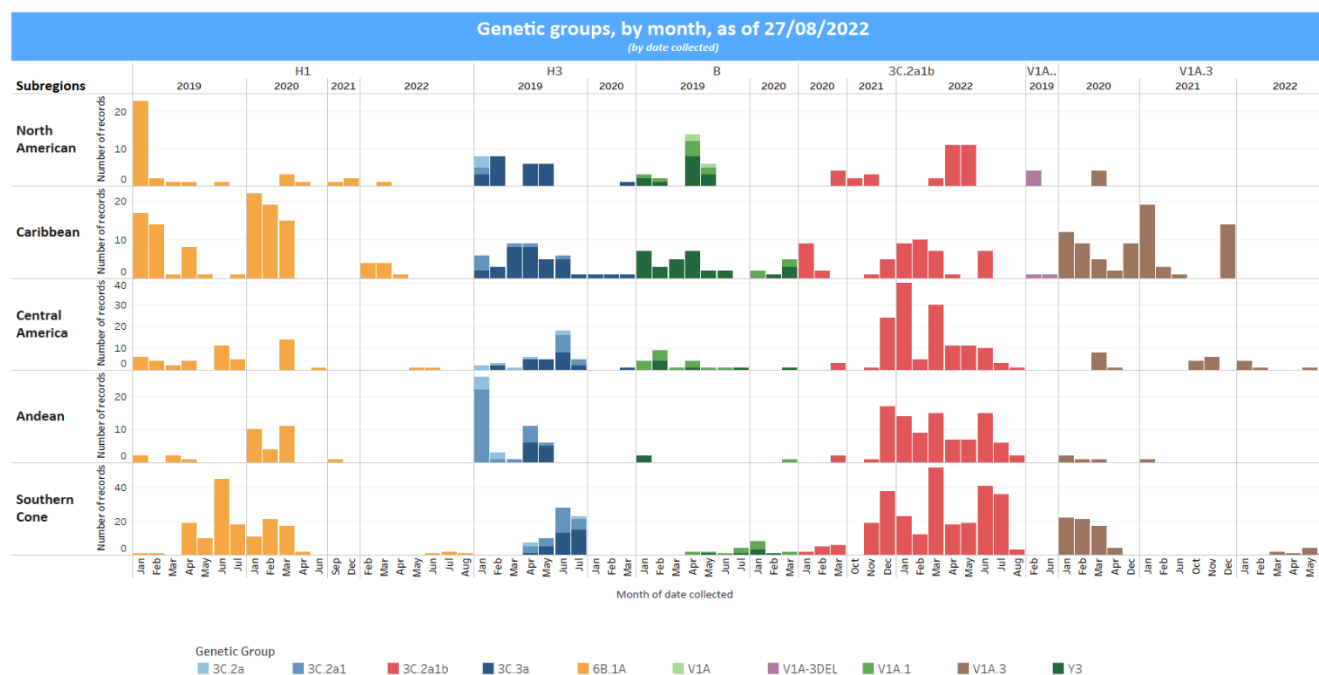


Weekly / Semanal

9

Influenza virus genetic characterization by subregion, 2019 - 2022

Caracterización genética de los virus influenza por subregión, 2019 - 2022





WEEKLY AND CUMULATIVE NUMBERS OF INFLUENZA AND OTHER RESPIRATORY VIRUSES, BY COUNTRY AND EW, 2022^{1,2} NÚMEROS SEMANALES Y ACUMULADOS DE INFLUENZA Y OTROS VIRUS RESPIRATORIOS, POR PAÍS Y SE, 2022^{3,4}

Weekly / Semanal

10

		EW 47, 2022 / SE 47 de 2022																							
		N samples flu & ORV / muestras flu & OVR		A(H3N2) A(H1N1)pdm09		FLU A NoSu	Influenza A unable to subtype/subtipo indeterminable			B Victoria	B Yamagata	B lineage indeterminado	Influenza (%)		Adenovirus	Parainfluenza	VRS	% RSV/RSV (%)	Coronavirus	Metapneumovirus	Rhinovirus	% All Positive Samples (%) Flu & ORV	N samples / muestras SARS-CoV-2	SARS-CoV-2 (%)	SARS-CoV-2 (%)
North America / América del Norte	Canada	117,790	1,984	117	5,424						16	6.4%	221	405	2,099	2%	326	198	471	9.6%	0				
	Mexico	1,039	728	8	0		12	1	0	4	72.5%	4	6	46	4%	1	3	4	78.6%	44,136	8,999	20.4%			
	USA	144,858	667	127	33,067			0	0	140	23.5%		6,827	5%							2,129,205	306,856	14.4%		
Caribbean/Caribe	Belize	89	1	0	0		0	0	0	0	0	1.1%		0	0	0	0	0	0	0	0	1.1%	1,195	32	2.7%
	Dominican Republic	1	0	0	0		0	0	0	0	0	0.0%	0	0	0	0	0	0	0	0	0	0.0%	1	0	0.0%
	Haiti	19	0	0	0		0	0	0	0	0	0.0%	0	0	0	0	0	0	0	0	0	0.0%	69	1	1.4%
	Jamaica	52	1	0	0		0	0	0	0	0	1.9%	0	0	0	0	0	0	0	0	0	1.9%	110	4	3.6%
	Saint Lucia	0	0	0	0		0	0	0	0	0	0	0	0	0	0	0	0	0	0	0	0	517	19	3.7%
	Suriname	0	0	0	0		0	0	0	0	0	0	0	0	0	0	0	0	0	0	0	0	0	0	0
Central America / América Central	Costa Rica	0	0	0	0		0	0	0	0	0	0	0	0	0	0	0	0	0	0	0	0	8	2	25.0%
	El Salvador	5	0	0	0		0	0	0	0	0	0.0%	1	0	0	0	0	0	0	0	0	20.0%	6	3	50.0%
	Guatemala	45	6	0	1		0	0	0	0	0	15.6%	0	6	12	27%	7	0	7	91.1%	1,217	27	2.2%		
	Honduras	20	0	0	0		0	0	0	0	0	0.0%	0	0	1	5%	0	0	0	0	0	5.0%	8	1	12.5%
	Panama	327	11	0	7		0	9	0	2	8.9%	3	7	52	16%	2	2	8	31.8%	977	224	22.9%			
Andean / Zona Andina	Bolivia	21	1	5	0		0	11	0	0	0	81.0%	0	0	1	5%	0	0	1	90.5%	17,549	576	3.3%		
	Ecuador	108	43	1	0		0	0	0	0	0	40.7%	0	0	0	0	0	0	0	0	0	40.7%	467	53	11.3%
	Peru	405	9	0	0		0	24	0	0	0	8.1%	0	0	0	0	0	0	0	0	0	8.1%	43,784	16,018	36.6%
	Venezuela	20	0	0	0		0	0	0	0	0	0.0%	0	0	0	0	0	0	0	0	0	0.0%	0		
Brazil & Southern Cone / Brasil y Cono Sur	Brazil	1,125	2	0	0		0	0	0	0	0	0.2%	1	0	84	6%	0	0	0	0	0	6.6%	4,938	1,477	31.6%
	Chile	2,882	82	6	504		0	4	0	0	0	20.7%	96	169	19	1%	29					31.5%	2,101	128	6.1%
	Chile_IRAG	234	3	1	53		0	0	0	0	0	24.4%	13	13	4	2%	1	6	16			49.6%	99	25	25.3%
	Paraguay	114	1	2	0		0	0	0	33	31.6%	0	0	0	0	0	0	0	0	0	0	31.6%	120	4	3.3%
	Uruguay	27	0	0	0		0	5	0	0	0	18.5%	0	0	0	0	0	0	0	0	0	18.5%	27	2	7.4%
Grand Total		269,181	3,539	267	39,056		12	54	0	195	16.0%	339	606	9,145	3%	337	238	507	20.2%	2,246,534	334,451	14.9%			

These are the raw numbers provided in the country's FluNet update (Not the smoothed averages)
Estos son los números crudos proporcionados en la actualización FluNet del país (no los promedios suavizados)

*Please note blank cells indicate N/A.
*Por favor notar que las celdas en blanco indican N/A.

EW 44, 2022 - EW 47, 2022 / SE 44 de 2022 - SE 47 de 2022																					
		N samples flu & ORVs/muestras flu & OVR	Influenza (H3N2)	Influenza A(H1N1)pdm09	Influenza A subtyping not performed	Influenza B Victoria	Influenza B Yamagata	Influenza B lineage undetermined	Influenza (%)	% Adenovirus	Parainfluenza	RSV/VRS	% RSV/VRS (%)	Bocavirus	Coronavirus	Metapneumovirus	Rhinovirus	% All Positive Samples (%) Flu & ORV	N samples/muestras SARS-CoV-2	SARS-CoV-2 (%)	SARS-CoV-2 (%)
North America / América del Norte	Canada	416,397	8,024	331	11,400	0	0	50	4.6%	838	1,665	7,366	1.8%	0	1,153	801	2,781	8.3%	0		
	Mexico	4,071	2,535	37	0	3	0	4	65.0%	23	45	274	6.7%	12	7	60	48	76.5%	172,990	23,197	13.4%
	USA	635,551	3,752	1,048	95,260	2	0	597	15.8%	0	0	57,558	9.1%	0	0	0	0	24.9%	10,291,945	1,153,033	11.2%
Caribbean/ Caribe	Belize	89	1	0	0	0	0	0	1.1%	0	0	0	0	0	0	0	0	1.1%	1,195	32	2.7%
	Dominican Republic	136	33	0	0	0	0	0	24.3%	1	0	6	4.4%	0	0	0	0	29.4%	126	1	0.8%
	Haiti	55	4	0	0	0	0	0	7.3%	0	0	0	0.0%	0	0	0	0	7.3%	269	9	3.3%
	Jamaica	214	16	5	0	0	0	0	9.8%	0	0	0	0.0%	0	0	0	0	9.8%	521	12	2.3%
Central America/ América Central	Costa Rica	37	0	0	0	0	0	0	0.0%	5	3	0	0.0%	0	6	4	19	100.0%	5,725	578	10.1%
	El Salvador	61	4	0	0	0	0	0	6.6%	1	0	14	23.0%	0	0	0	0	31.1%	68	26	38.2%
	Guatemala	160	25	0	9	5	0	1	25.0%	1	13	30	18.8%	1	20	5	23	85.0%	4,754	83	1.7%
	Honduras	128	2	0	2	0	0	4	6.3%	0	0	5	3.9%	0	0	0	0	10.2%	111	1	0.9%
	Nicaragua	294	1	0	1	0	0	35	12.6%	0	3	1	0.3%	0	0	1	0	14.3%	2,362	46	1.9%
	Panama	1,086	34	0	13	18	0	4	6.7%	11	33	256	23.6%	3	4	7	42	39.8%	2,367	387	16.3%
Andean / Zona Andina	Bolivia	174	7	31	0	48	0	5	52.3%	0	3	12	6.9%	1	0	0	9	66.7%	52,355	1,165	2.2%
	Colombia	4,943	58	1	1	2	0	3	1.3%	443	116	177	3.6%	5	58	30	349	25.5%	44,377	3,074	6.9%
	Ecuador	433	94	1	0	2	0	0	22.4%	0	4	0	0.0%	0	0	0	0	23.3%	1,510	119	7.9%
	Peru	1,146	37	1	0	47	0	0	7.4%	0	0	1	0.1%	0	0	4	0	7.9%	118,440	32,511	27.4%
	Venezuela	190	1	0	0	5	0	0	3.2%	0	0	0	0.0%	0	0	0	0	3.2%	0		
Brazil and Southern Cone / Brasil y Cono Sur	Argentina	7,326	27	53	466	81	0	1,718	32.0%	73	127	333	4.5%	0	0	0	0	39.3%	32,171	2,026	6.3%
	Brazil	5,610	35	14	0	0	0	0	0.9%	3	1	280	5.0%	2	8	3	12	6.4%	17,677	5,202	29.4%
	Chile	11,958	492	17	2,591	17	0	5	26.1%	424	570	56	0.5%	0	0	151	0	36.2%	8,145	510	6.3%
	Chile IRAG	1,074	72	3	278	0	0	2	33.1%	53	66	12	1.1%	2	6	25	61	55.7%	499	118	23.6%
	Paraguay	2,385	31	17	0	0	0	55	4.3%	7	0	1	0.0%	0	0	3	0	4.8%	446	6	1.3%
	Paraguay IRAG	429	7	10	0	15	0	0	7.5%	11	2	2	0.5%	0	0	4	0	11.9%	700	15	2.1%
	Uruguay	96	0	0	0	13	0	0	13.5%	0	0	1	1.0%	0	0	0	0	14.6%	96	5	5.2%
Grand Total		1,084,043	15,292	1,589	110,021	258	0	2,483	11.9%	1,894	2,851	66,385	6.1%	26	1,262	1,098	3,344	18.9%	10,758,849	1,222,156	11.4%

Total Influenza B, EW 44 - 47, 2022 - SE 44 - 47 de 2022

	Influenza B	B Victoria	B Yamagata	B lineage undetermined/lineaje indeterminado	% B Victoria	% B Yamagata
North America / América del Norte	656	5	0	651	100%	0%
Caribbean/ Caribe	0	0	0	0	0%	0%
Central America / América Central	67	23	0	44	100%	0%
Andean/ Zona Andina	112	104	0	8	100%	0%
Brazil & Southern Cone/ Brasil y Cono Sur	1,919	139	0	1,780	100%	0%
Grand Total	2,754	271	0	2,483	100%	0%

¹ The detection of respiratory viruses other than influenza depends on the diagnostic capacity of each country and monitoring system. The absence of report of other respiratory viruses does not indicate the absence of their circulation.
² Data reported by the Ministries of Health of the countries, from sentinel and intensified surveillance for acute respiratory disease.
³ La detección de otros virus respiratorios diferentes a influenza depende de la capacidad diagnóstica de cada país y del sistema de vigilancia establecido. El que no se reporten otros virus respiratorios, no significa, ni indica la ausencia de circulación viral.
⁴ Datos reportados por los Ministerios de Salud de los países, provenientes de la vigilancia centinela e intensificada de enfermedad respiratoria aguda.



SARinet plus
Severe Acute Respiratory Infections Network



EPIDEMIOLOGIC AND VIROLOGIC UPDATE OF INFLUENZA &
OTHER RESPIRATORY VIRUSES BY COUNTRY
ACTUALIZACIÓN EPIDEMIOLÓGICA Y VIROLÓGICA DE LA
INFLUENZA Y OTROS VIRUS RESPIRATORIOS POR PAÍS





SUBREGION
NORTH AMERICA / AMÉRICA DEL NORTE

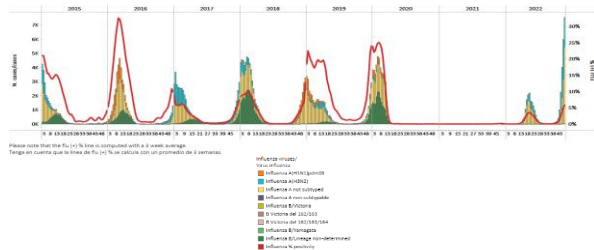




Canada / Canadá

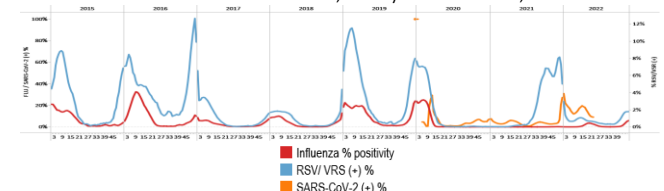
During EW 47, influenza A(H3N2) detections predominated, followed by some influenza A(H1N1)pdm09 (where subtyping was performed) and influenza B viruses (lineage undetermined). Influenza activity has continued to increase for this time of year at low-intensity levels (Graphs 1, 2, and 3). Among influenza cases with recorded age (5096), 46% were in children and teenagers (0-19). The Immunization Monitoring Program Active (IMPACT) network reported a steep increase in influenza-associated hospitalizations among the pediatric population at levels above the peak usually seen in the influenza season. Respiratory syncytial virus activity remains stable, above average compared to pre-pandemic levels, although at expected levels for this time of year (Graph 2). Some rhinovirus, parainfluenza, metapneumovirus, and adenovirus detections were also registered, with activity relatively stable and near expected levels for this time of year (Graph 4). The percentage of visits to healthcare professionals due to ILI (3.1%) was above the typical levels for this time of year (Graph 5). The COVID-19 weekly rate decreased among all age groups (Graph 6); however, the distribution of COVID-19 patients by sex remained unchanged, with 54.6% of cases in women and 34.8% being 20-39 years old. / Durante la SE 47 predominaron las detecciones de influenza A(H3N2), seguidas de influenza A(H1N1)pdm09 (en muestras con subtipo determinado) e influenza B (linaje indeterminado). La actividad de la influenza ha seguido aumentando para esta época del año en niveles de baja intensidad (Gráficos 1, 2 y 3). De los casos de influenza con edad registrada (5096), el 46% ocurrieron en niños y adolescentes (0-19). La red del Programa de Monitoreo de Inmunización Activo (IMPACT) reportó un aumento pronunciado en las hospitalizaciones asociadas a la influenza en la población pediátrica en niveles por encima del pico que generalmente se observa en la temporada de influenza. La actividad del virus respiratorio sincitial se mantiene estable, por encima del promedio en comparación con los niveles previos a la pandemia, aunque en los niveles esperados para esta época del año (Gráfico 2). También se registraron algunas detecciones de rinovirus, parainfluenza, metapneumovirus y adenovirus, con actividad relativamente estable y cerca de los niveles esperados para esta época del año (Gráfico 4). El porcentaje de visitas a profesionales de la salud por ETI (3,1 %) estuvo por encima de los niveles típicos para esta época del año (Gráfico 5). La tasa semanal de la COVID-19 disminuyó en todos los grupos de edad (Gráfico 6); sin embargo, la distribución de pacientes con COVID-19 por sexo se mantuvo sin cambios, con un 54,6 % de casos en mujeres y un 34,8 % en aquellas entre los 20 y 39 años.

Graph 1. Canada: Influenza virus distribution,EW 47, 2015-22
Distribución de virus de influenza, SE 47, 2015-22

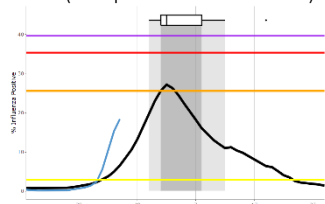


Graph 2. Canada: Influenza, RSV, and SARS-CoV-2 distribution
EW 47, 2015-22

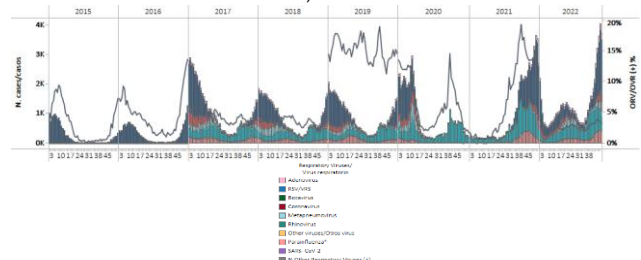
Distribución de los virus influenza, VRS y SARS-CoV-2, SE 47 2015-22



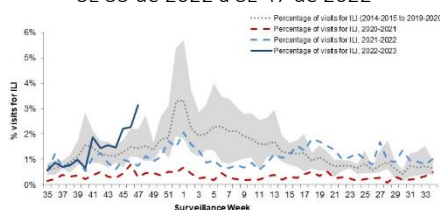
Graph 3. Canada: Percent positivity for influenza, EW 47, 2022
(compared to 2010-21)
Porcentaje de positividad de influenza, SE 47 de 2022
(comparado con 2010-21)



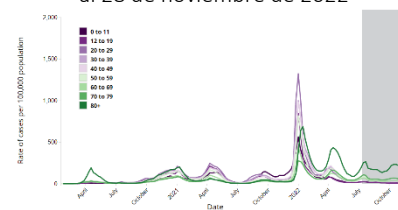
Graph 4. Canada: RSV, SARS-CoV-2, and other respiratory viruses
distribution, EW 47 2015-22
Distribución del VRS, SARS-CoV-2 y otros virus respiratorios,
SE 47, 2015-22



Graph 5. Canada: Percentage of ILI visits by sentinel sites,
EW 35, 2022 – EW 47, 2022
Porcentaje de casos de ETI por sitio centinela,
SE 35 de 2022 a SE 47 de 2022



Graph 6. Canada: Age and gender distribution of COVID-19 cases
as of 28 November 2022
Distribución por edad de los casos de la COVID-19,
al 28 de noviembre de 2022



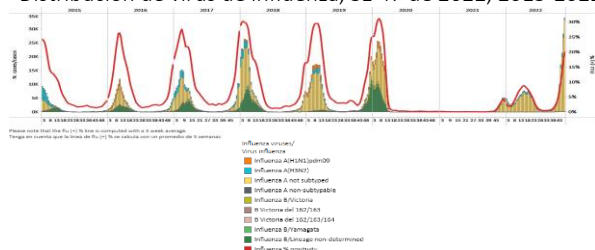


United States / Estados Unidos

As of EW 47, influenza A(H3N2) predominated. Influenza A(H1N1)pdm09 and influenza B (lineage undetermined) were co-circulated. Influenza activity is high and continues to increase across the country above the average of previous seasons at low-intensity levels for this time of year (Graphs 1, 2, and 3). Respiratory syncytial virus activity remained high but has decreased in recent weeks. The highest RSV-associated hospitalization rate was reported among those 0-5 months, with 73.3 per 100 000 population. Additionally, SARS-CoV-2 percent positivity (14.4%) increased slightly compared to the previously registered (Graph 2). Influenza-like illness (ILI) continued to increase, with 7.5% of outpatient ILI visits well above the national baseline for this time of year (Graph 4). In EW 47, most jurisdictions reported high or very high ILI activity, while Alaska, Michigan, New Hampshire, North Mariana Islands, Vermont, and the Virgin Islands recorded minimal-low activity (Graph 5). According to the FluSurv-NET system, the overall cumulative hospitalization rate was 16.6/100 000 population, higher than the ones recorded in previous seasons back in 2010-11 for EW 47. Laboratory-confirmed COVID-19-associated hospitalizations have increased, with a 27.1% percent change from EW 46 (Graph 6). / En la SE 47 predominó influenza A(H3N2). Circularon concurrentemente influenza A(H1N1)pdm09 e influenza B (linaje indeterminado). La actividad de la influenza es alta y continúa aumentando en todo el país por encima del promedio de temporadas anteriores en niveles de baja intensidad para esta época del año (Gráficos 1, 2 y 3). La actividad del virus respiratorio sincitial se mantuvo alta, pero ha disminuido en las últimas semanas. La tasa de hospitalización asociada al VRS más alta se notificó en los de 0 a 5 meses, con 73,3 por 100 000 habitantes. Adicionalmente, el porcentaje de positividad para SARS-CoV-2 (14,4 %) aumentó levemente con respecto al registrado anteriormente (Gráfico 2). La enfermedad tipo influenza (ETI) siguió aumentando, con un 7,5 % de visitas ambulatorias por ETI muy por encima de la línea de base nacional para esta época del año (Gráfico 4). En la SE 47, la mayoría de las jurisdicciones reportaron una actividad de la ETI alta o muy alta, mientras que Alaska, las Islas Marianas del Norte, las Islas Vírgenes, Michigan, Nuevo Hampshire y Vermont registraron una actividad mínima o baja (Gráfico 5). Según el sistema FluSurv-NET, la tasa general de hospitalización acumulada fue de 16,6/100 000 habitantes, superior a las registradas en temporadas anteriores para la SE 47 (desde la temporada 2010-11). Las hospitalizaciones asociadas a COVID-19 confirmadas por laboratorio han aumentado, con una variación porcentual de 27,1 % respecto a la SE 46 (Gráfico 6).

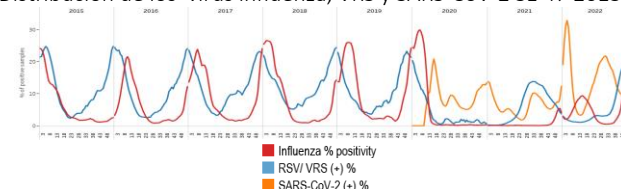
Graph 1. USA: Influenza virus distribution,
EW 47 2022, 2015-2022

Distribución de virus de influenza, SE 47 de 2022, 2015-2022



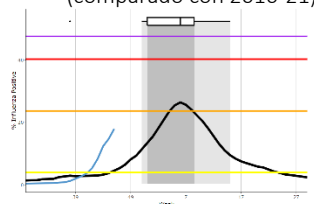
Graph 2. USA: Influenza, RSV, and SARS-CoV-2 distribution
EW 47 2022, 2015-22

Distribución de los virus influenza, VRS y SARS-CoV-2 SE 47 2015-22



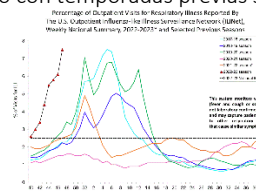
Graph 3. USA: Percent positivity for influenza, EW 47 2022
(compared to 2010-21)

Porcentaje de positividad de influenza, SE 47 de 2022
(comparado con 2010-21)



Graph 4. USA: Percentage of visits for ILI, EW 47 2022
compared to selected previous seasons

Porcentaje de visitas por ETI, SE 47, 2022
comparado con temporadas previas seleccionadas



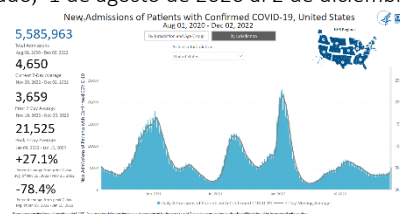
Graph 5. USA: ILI activity level indicator by state,
EW 47, 2021-2022

Indicador de nivel de actividad de la ETI por estado,
SE 47, 2021-2022



Graph 6. USA: New hospital admissions of patients with confirmed
COVID-19, August 1, 2020 – December 2, 2022

Nuevos ingresos hospitalarios de pacientes con COVID-19
confirmado, 1 de agosto de 2020 al 2 de diciembre de 2022



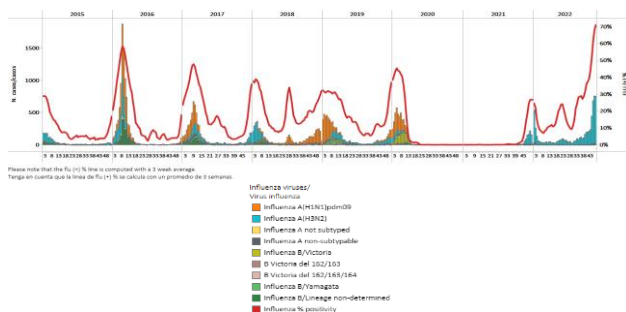


Mexico / México

In EW 47, a predominance of influenza A(H3N2) detections followed by influenza A(H1N1)pdm09 (where subtyping was performed) and B/Victoria were reported. Influenza activity remained high and continues to increase, reaching extraordinary-intensity levels for this time of year (Graphs 1 and 3). Queretaro, Nuevo Leon, Mexico City, and Aguas Calientes reported most influenza cases at sentinel sites. In addition, RSV detections were recorded, with activity at a higher level than in previous seasons (2015-16 through 2019-20), with a decreasing trend in recent weeks. RSV cases were recorded mainly in Mexico City, Mexico State, and Aguas Calientes. In addition, SARS-CoV-2 percent positivity (20.4%) has shown an increasing trend at levels compared to the lowest recorded in season 2021 (Graphs 2 and 4), with higher detections occurring in Yucatan, Mexico City, and Baja California. SARI cases remained stable above the average of prior seasons at low-intensity levels for this time of year (Graph 5). Among 1625 sampled SARI cases, 11.2% tested positive for influenza, and 10.5% were SARS-CoV-2 cases. Influenza-like illness (ILI) cases have remained stable at low-intensity levels above the average of previous seasons (Graph 6). Of 10 001 sampled ILI cases, 12.0% tested positive for SARS-CoV-2, and most cases occurred in persons 20-34 years. Influenza-associated ILI cases (5.7%) occurred mainly among persons aged 20-54. Sixty-seven SARI-associated deaths were registered, with 59.7% occurring among those aged 65 and older. / En la SE 47 se reportó un predominio de detecciones de influenza A(H3N2) seguido de influenza A(H1N1)pdm09 (en muestras con subtipo determinado) y B/Victoria. La actividad de la influenza se mantuvo alta y continúa aumentando, alcanzando niveles de intensidad extraordinarios para esta época del año (Gráficos 1 y 3). En los sitios centinela Querétaro, Nuevo León, Ciudad de México y Aguas Calientes reportaron la mayoría de los casos de influenza. Además, se registraron detecciones de VRS, con una actividad a un nivel más alto que en temporadas anteriores (2015-16 a 2019-20), con una tendencia decreciente en las últimas semanas. Los casos de VRS se registraron principalmente en la Ciudad de México, Estado de México y Aguas Calientes. Además, el porcentaje de positividad del SARS-CoV-2 (20,4 %) ha mostrado una tendencia creciente con niveles comparables a los más bajos registrados en la temporada 2021 (Gráficos 2 y 4), con el registro de detecciones más altas en Yucatán, Ciudad de México y Baja California. El número de casos de IRAG se mantuvo estable por encima del promedio de temporadas anteriores en niveles de baja intensidad para esta época del año (Gráfico 5). De 1625 casos de IRAG con muestras, el 11,2 % resultó positivo para influenza y el 10,5 % fueron casos de SARS-CoV-2. El número de casos de enfermedad tipo influenza (ETI) se ha mantenido estable en niveles de baja intensidad por encima del promedio de temporadas anteriores (Gráfico 6). De 10 001 casos de ETI con muestra, el 12,0 % resultó positivo para SARS-CoV-2, y la mayoría de los casos se presentaron en personas de 20 a 34 años. Los casos de ETI asociados a la influenza (5,7 %) ocurrieron principalmente en personas de 20 a 54 años. Se registraron 67 muertes asociadas a la IRAG, de las cuales el 59,7 % ocurrieron en personas de 65 años o más.

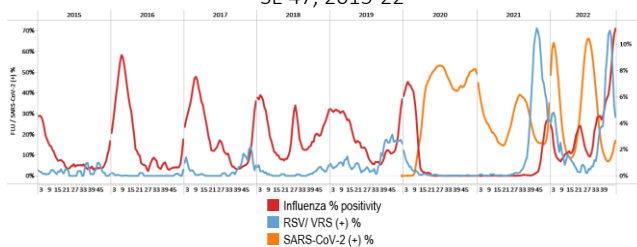
Graph 1. Mexico: Influenza virus distribution, EW 47, 2015-22

Distribución del virus influenza, SE 47, 2015-22



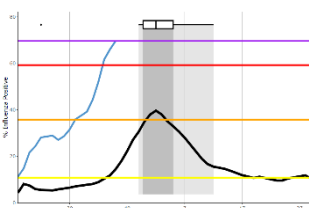
Graph 2. Mexico: Influenza, RSV, and SARS-CoV-2 distribution EW 47, 2015-22

Distribución de los virus influenza, VRS y SARS-CoV-2, SE 47, 2015-22



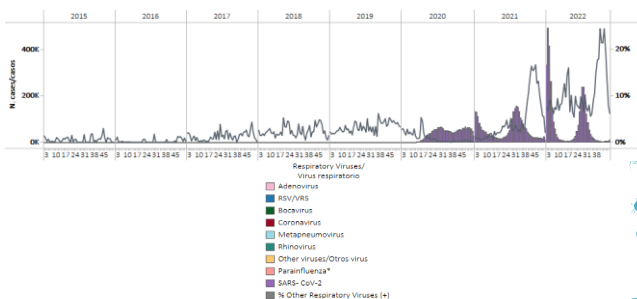
Graph 3. Mexico: Percent positivity for influenza, EW 47, 2022 (compared to 2010-21)

Porcentaje de positividad de influenza, SE 47 de 2022 (comparado con 2010-21)



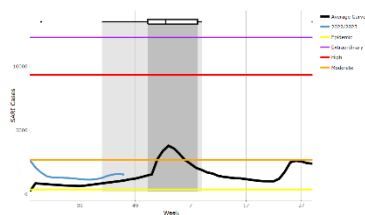
Graph 4. Mexico: RSV, SARS-CoV-2, and other respiratory viruses distribution, EW 47 2015-22

Distribución del VRS, SARS-CoV-2 y otros virus respiratorios, SE 47, 2015-22

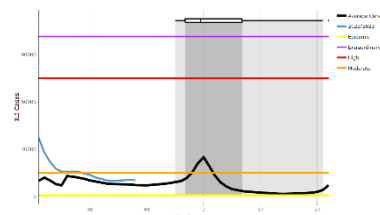




Graph 5. Mexico: Number of SARI cases, EW 47, 2022
(compared to 2015-21)
Número de casos de IRAG, SE 47 de 2022
(comparado con 2015-21)



Graph 6. Mexico: Number of ILI cases, EW 47, 2022
(compared to 2015-21)
Número de casos de ETI, SE 47 de 2022
(comparado con 2015-21)





**SUBREGION
CARIBBEAN / CARIBE**

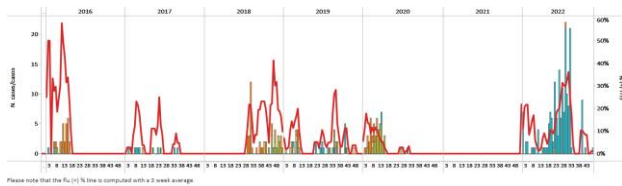




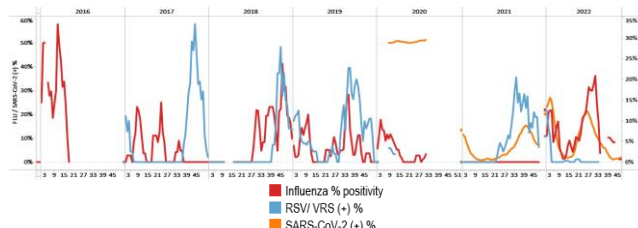
Belize / Belice

In EW 47, minimal influenza A(H3N2) detections were recorded nationally (Graph 1). Influenza activity remained stable below the average of previous years at low-intensity levels (Graph 3). No respiratory syncytial viruses were reported. Of 1195 samples analyzed for SARS-CoV-2, 2.7% tested positive. Percent positivity and detections increased compared to the previous week (Graphs 2 and 4). Belize and Cayo reported the most COVID-19 cases. / En la SE 47, a nivel nacional se registraron detecciones mínimas de influenza A(H3N2) (Gráfico 1). La actividad de la influenza se mantuvo estable por debajo del promedio de años anteriores en niveles de baja intensidad (Gráfico 3). No se reportaron detecciones de virus respiratorio sincital. De 1195 muestras analizadas para SARS-CoV-2, el 2,7 % resultaron positivas. El porcentaje de positividad y el número de detecciones aumentó en comparación con la semana anterior (Gráficos 2 y 4). Belice y Cayo reportaron la mayor cantidad de casos de la COVID-19.

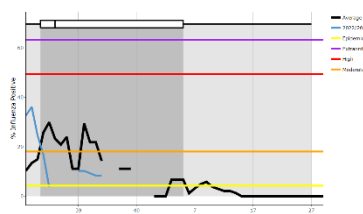
Graph 1. Belize. Influenza virus distribution EW 47, 2016-22
Distribución de virus influenza SE 47, 2016-22



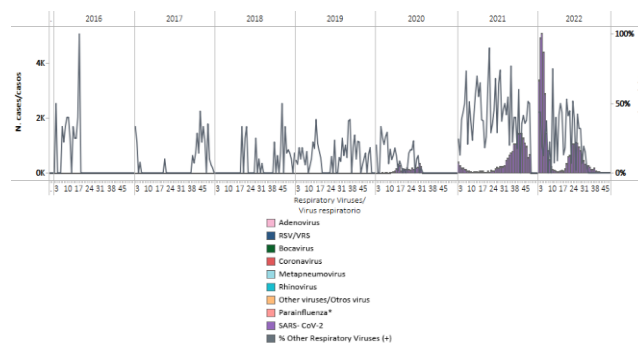
Graph 2. Belize: Influenza, RSV, and SARS-CoV-2 distribution, EW 47, 2016-22
Distribución de virus influenza, VRS y SARS-CoV-2, SE 47, 2016-22



Graph 3. Belize: Percent positivity for influenza, EW 47, 2022 (compared to 2016-21)
Porcentaje de positividad de influenza, SE 47 de 2022 (comparado con 2016-21)



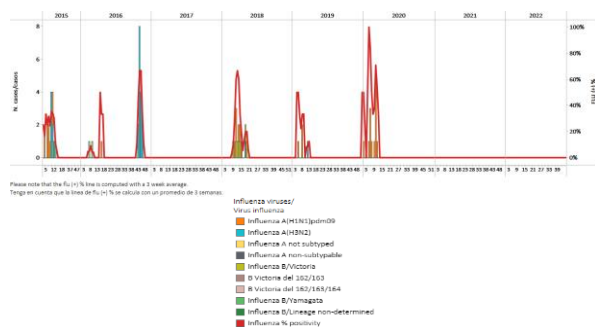
Graph 4. Belize: RSV, SARS-CoV-2, and other respiratory viruses distribution, EW 47, 2016-22
Distribución de VRS, SARS-CoV-2 y otros virus respiratorios, SE 47, 2016-22



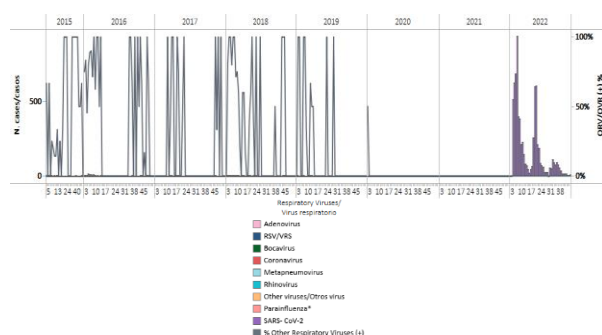
Dominica

During EW 45, no samples were analyzed for influenza or RSV (Graphs 1 and 2). As of EW 45, 90 samples were analyzed for SARS-CoV-2 with 10.0% positivity, remaining stable compared to the previously reported (Graphs 2 and 3). No SARI cases have been recorded; as a result, severe acute respiratory infection activity is at baseline levels (Graph 4). / Durante la SE 45 no se analizaron muestras para influenza ni para VRS (Gráficos 1 y 2). En la SE 45 se analizaron 90 muestras para SARS-CoV-2 con un 10,0 % de positividad, manteniéndose estable en comparación el reportado previamente (Gráficos 2 y 3). No se han registrado casos de IRAG; como resultado, la actividad de la infección respiratoria aguda grave se encuentra en niveles basales (Gráfico 4).

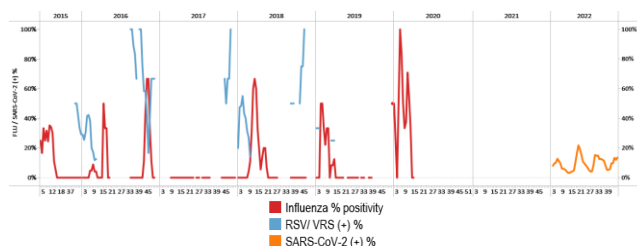
Graph 1. Dominica. Influenza virus distribution,
EW 45, 2015-22
Distribución de virus influenza, SE 45, 2015-22



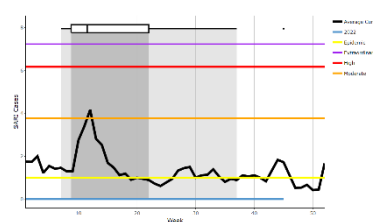
Graph 3. Dominica: RSV, SARS-CoV-2, and other respiratory viruses distribution, EW 45, 2015-22
Distribución de VRS, SARS-CoV-2 y otros virus respiratorios, SE 45, 2015-22



Graph 2. Dominica: Influenza, RSV, and SARS-CoV-2 distribution, EW 45, 2015-22
Distribución de virus influenza, VRS y SARS-CoV-2, SE 45, 2015-22



Graph 4. Dominica: Number of SARI cases, EW 45, 2022
(compared to 2010-21)
Número de casos de IRAG, SE 45 de 2022
(comparado con 2010-21)



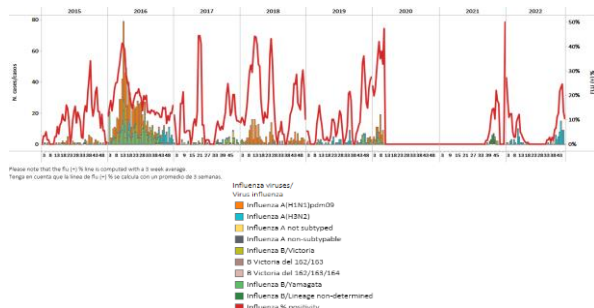


Dominican Republic / República Dominicana

During EW 47, no influenza detections were recorded, with influenza A(H3N2) circulating in recent weeks. Influenza activity remained at low-intensity levels (Graphs 1, 2, and 3). No respiratory syncytial virus detections were registered (Graph 2). One sample was analyzed for SARS-CoV-2 and tested negative (Graph 4). / Durante la SE 47 no se registraron detecciones de influenza, con la circulación de influenza A(H3N2) en semanas recientes. La actividad de la influenza se mantuvo estable en niveles bajos de actividad (Gráficos 1, 2 y 3). No se registraron detecciones de virus respiratorio sincitial (Gráfico 2). Se analizó una muestra para SARS-CoV-2 y resultó negativa (Gráfico 4).

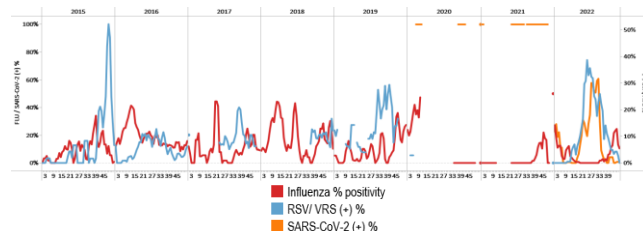
Graph 1. Dominican Republic: Influenza virus distribution, EW 47, 2015-22

Distribución del virus influenza, SE 47, 2015-22



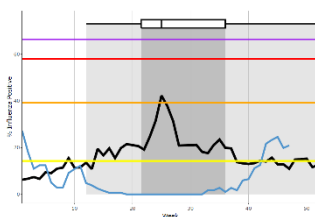
Graph 2. Dominican Republic: Influenza, RSV, and SARS-CoV-2 distribution, EW 47, 2015-22

Distribución de los virus influenza, VRS y SARS-CoV-2, SE 47, 2015-22



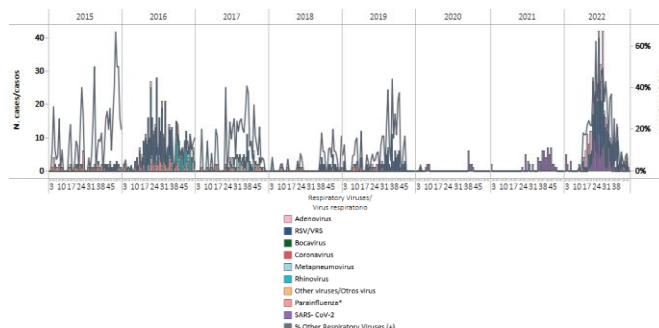
Graph 3. Dominican Republic: Percent positivity for influenza, EW 47, 2022 (compared to 2010-21)

Porcentaje de positividad de influenza, SE 47 de 2022 (comparado con 2010-21)



Graph 4. Dominican Republic: RSV, SARS-CoV-2, and other respiratory viruses distribution, EW 47, 2015-22

Distribución de VRS, SARS-CoV-2 y otros virus respiratorios, SE 47, 2015-22

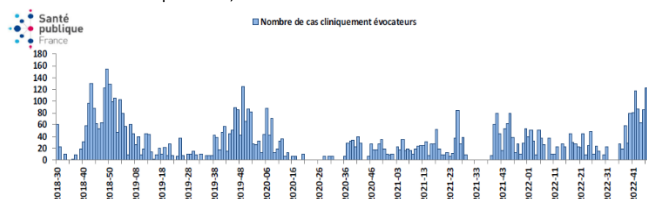




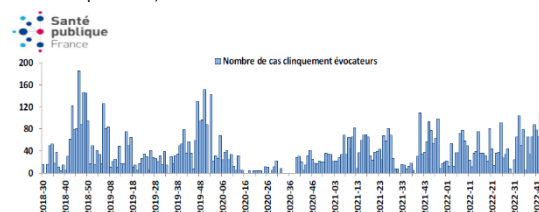
French Territories / Territorios franceses

Guadeloupe: The number of weekly bronchiolitis consultations was still at a high level in EW 47 and decreased compared to the previous week (Graph 1). Eighteen out of 35 (51.4%) visits to the emergency room for bronchiolitis ended in hospitalization representing 44.0% of all infant hospitalizations in Guadeloupe. **Martinique:** The number of community medicine consultations for bronchiolitis remained at high levels, although no data was available for EW 47. The number of consultations for infant bronchiolitis was high throughout 2022 compared to previous years, with high levels observed since August 2022 (EW 32, 2022). However, the number of consultations has increased recently, with 130 consultations estimated on the whole island in EW 46 (compared to 90 in EW 45 and 68 in EW 44). Still, this indicator remains lower than in the 2018-2019 season (Graph 2). Bronchiolitis activity in the hospital among infants remains at higher levels than those observed since 2018. During EW 47, 24 visits to the pediatric emergency room were recorded (compared to 23 in EW 46). Nine of these cases were hospitalized (compared to 8 in EW 46). / **Guadalupe:** el número de consultas semanales por bronquiolititis aún se encontraba en un nivel alto en la SE 47 y disminuyó en comparación con la semana anterior (Gráfico 1). Dieciocho de 35 (51,4 %) visitas a la sala de emergencias por bronquiolititis terminaron en hospitalización, lo que representa el 44,0 % de todas las hospitalizaciones infantiles en Guadalupe. **Martinica:** el número de consultas por bronquiolititis se mantuvo en niveles altos, aunque no hubo datos disponibles para la SE 47. El número de consultas por bronquiolititis infantil estuvo alto durante 2022 en comparación con años anteriores, con niveles altos observados desde agosto de 2022 (SE 32 de 2022). Sin embargo, el número de consultas ha aumentado recientemente, con 130 consultas estimadas en toda la isla en la SE 46 (en comparación con 90 en la SE 45 y 68 en la SE 44). Aun así, este indicador se mantiene más bajo que en la temporada 2018-2019 (Gráfico 2). La actividad de la bronquiolititis a nivel hospitalario en los lactantes se mantiene en niveles superiores a los observados desde 2018. Durante la SE 47 se registraron 24 visitas a urgencias pediátricas (respecto a 23 en la SE 46). Nueve de estos casos fueron hospitalizados (respecto a 8 en la SE 46).

Graph 1. Guadeloupe: Estimated number of clinically suggestive cases of bronchiolites, EWs 30-2018, to EW 47-2022
Número estimado de casos clínicamente sugestivos de bronquiolititis, de la SE 30 de 2018 a la SE 47 de 2022



Graph 2. Martinique: Estimated number of clinically suggestive cases of bronchiolites, EWs 30-2018, to EW 47-2022
Número estimado de casos clínicamente sugestivos de bronquiolititis, de la SE 30 de 2018 a la SE 47 de 2022

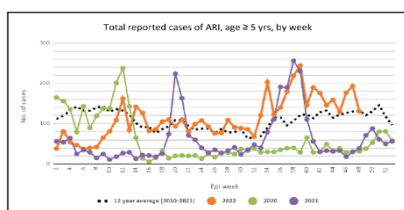




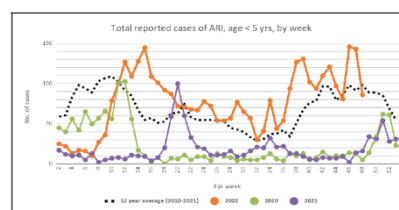
Grenada / Granada

During 2022, the number of ARI cases fluctuated around the average of the previous 12 years, with the highest increase recorded in EW 39. However, in EW 47, ARI cases remained elevated at the mean of prior years (Graph 1). Similarly, after EW 11, the number of ARI cases among children under five has remained above the average of the previous 12 years. Since EW 32, ARI cases have trended upward, decreasing below the prior years' average in EW 47 (Graph 2). / Durante 2022, el número de casos de IRA ha fluctuado alrededor del promedio de los 12 años previos, registrándose el mayor aumento en la SE 39. Sin embargo, en la SE 47, los casos de IRA se mantuvieron elevados por encima del promedio de años anteriores (Gráfico 1). De igual manera, luego de la SE 11, el número de casos de IRA en niños menores de cinco años se ha mantenido por encima del promedio de los últimos 12 años. Desde la SE 32, los casos de IRA han tenido una tendencia ascendente, disminuyendo por debajo del promedio de años anteriores en la SE 47 (Gráfico 2).

Graph 1. Grenada: ARI cases among individuals 5 years and older, EW 47, 2020-22 (compared to 2010-21)
Casos de IRA en personas de 5 y más años, SE 47 de 2022 (comparado con 2010-21)



Graph 2. Grenada: Number of pediatric ARI cases (<5 years of age), EW 47, 2020-22 (compared to 2010-21)
Casos pediátricos de IRA (< 5 años), SE 47 de 2022 (comparado con 2010-21)



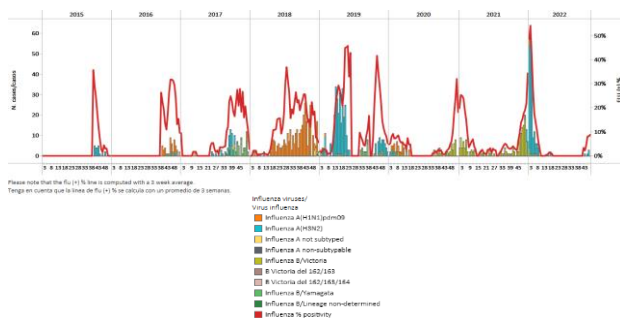
Source / fuente: Weekly Communicable Disease Surveillance Report 2022. Epidemiological week #47. Ministry of Health Grenada
Informe Semanal de Vigilancia de Enfermedades Transmisibles 2022. Semana epidemiológica #47. Ministerio de Salud Granada



Haiti / Haití

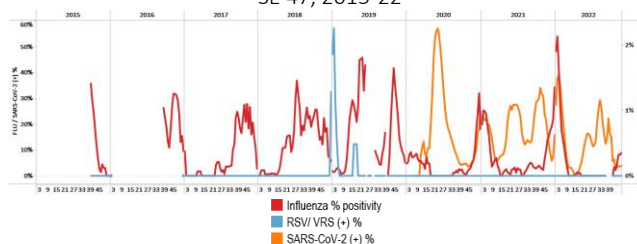
During EW 47, no influenza detections were recorded, with influenza A(H3N2) circulating the previous week. Influenza activity remains at low-intensity levels below the average of prior years (Graphs 1, 2, and 3). Among 69 specimens tested for SARS-CoV-2, 1.4% tested positive remaining stable compared to previous weeks (Graphs 2 and 4). Severe acute respiratory infections remained below the average of prior seasons at baseline levels (Graph 5). / Durante la SE 47 no se registraron detecciones de influenza, con circulación de influenza A(H3N2) la semana previa. La actividad de la influenza se mantiene en niveles de baja intensidad por debajo del promedio de años anteriores (Gráficos 1, 2 y 3). De 69 muestras analizadas para SARS-CoV-2, el 1,4 % resultó positivo y se mantuvo estable en comparación con las semanas anteriores (Gráficos 2 y 4). El número de casos de infecciones respiratorias agudas graves se mantuvo por debajo del promedio de temporadas anteriores en los niveles basales (Gráfico 5).

Graph 1. Haiti: Influenza virus distribution EW 47, 2015-22
Distribución de virus influenza SE 47, 2015-22

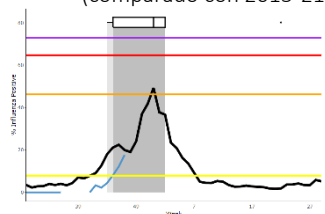


Graph 2. Haiti: Influenza, RSV, and SARS-CoV-2 distribution, EW 47, 2015-22

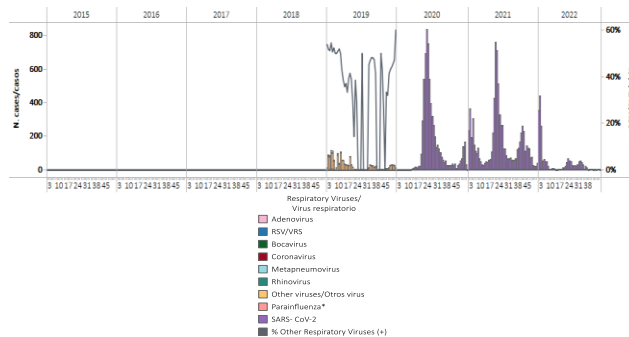
Distribución de los virus influenza, VRS y SARS-CoV-2,
SE 47, 2015-22



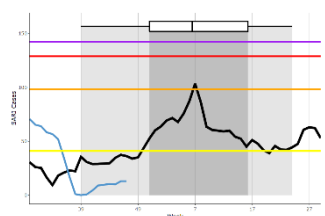
Graph 3. Haiti: Percent positivity for influenza, EW 47, 2022
(compared to 2015-21)
Porcentaje de positividad de influenza, SE 47 de 2022
(comparado con 2015-21)



Graph 4. Haiti: RSV, SARS-CoV-2, and other respiratory viruses distribution, EW 47, 2019-22
Distribución del VRS, SARS-CoV-2 y otros virus, SE 47, 2019-22



Graph 4. Haiti: Number of SARI cases, EW 47, 2022
(compared to 2017-21)
Número de casos de IRAG, SE 47 de 2022
(comparado con 2017-21)

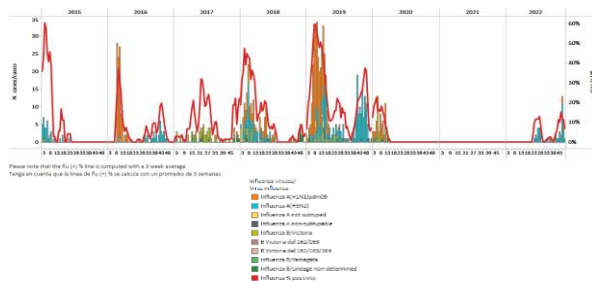




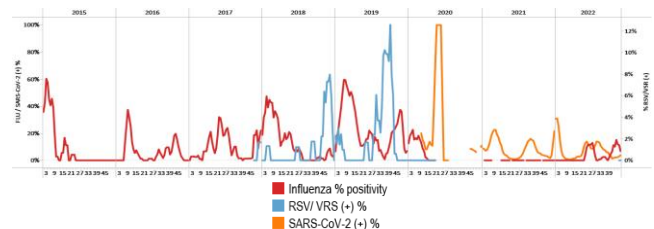
Jamaica

In EW 47, minimal influenza A(H3N2) detections were reported, while no RSV detections were recorded (Graphs 1 and 2). Influenza activity was at baseline levels (Graph 3). SARS-CoV-2 percent positivity (3.6%) remained stable compared with last week (Graph 2). SARI cases / 100 hospitalizations decreased below the average of previous years at low-intensity levels (Graph 4). In contrast, pneumonia cases continued high at moderate-intensity levels (Graph 5). Kingston-St. Andrew and St. Thomas reported most of the pneumonia cases. Acute respiratory infections stayed above the average of previous years at low-intensity levels (Graph 6). / En la SE 47, se reportaron detecciones mínimas de influenza A(H3N2), mientras que no se registraron detecciones de VRS (Gráficos 1 y 2). La actividad de la influenza estuvo en los niveles basales (Gráfico 3). El porcentaje de positividad del SARS-CoV-2 (3,6 %) se mantuvo estable en comparación con el porcentaje registrado la semana pasada (Gráfico 2). El número de casos de IRAG por cada 100 hospitalizaciones disminuyó por debajo del promedio de años anteriores en niveles de baja intensidad (Gráfico 4). En contraste, los casos de neumonía continuaron altos en niveles de intensidad moderada (Gráfico 5). Kingston-St. Andrew y St. Thomas informaron la mayoría de los casos de neumonía. El número de infecciones respiratorias agudas se mantuvo por encima del promedio de años anteriores en niveles de baja intensidad (Gráfico 6).

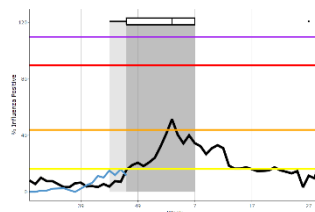
Graph 1. Jamaica: Influenza virus distribution
EW 47, 2015-22
Distribución de virus influenza SE 47, 2015-22



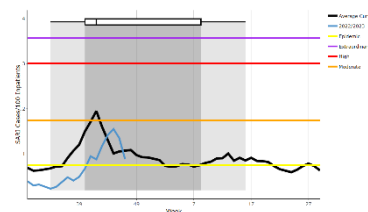
Graph 2. Jamaica: Influenza, RSV, and SARS-CoV-2 distribution,
EW 47, 2015-22
Distribución de los virus influenza, VRS y SARS-CoV-2, SE 47, 2015-22



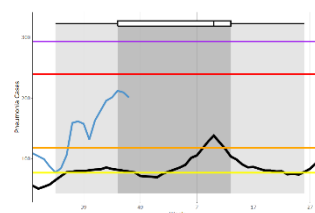
Graph 3. Jamaica: Percent positivity for influenza, EW 47, 2022
(compared to 2010-21)
Porcentaje de positividad de influenza, SE 47 de 2022
(comparado con 2010-21)



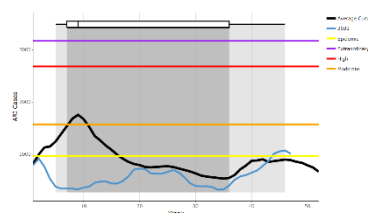
Graph 4. Jamaica: SARI cases/100 hospitalizations,
EW 47, 2022 (compared to 2011-21)
Casos de IRAG/100 hospitalizaciones, SE 47 de 2022
(comparado con 2011-21)



Graph 5. Jamaica: Number of pneumonia cases, EW 47, 2022
(compared to 2014-21)
Número de casos de neumonía, SE 47, 2022
(comparado con 2014-22)



Graph 6. Jamaica: Number of ARI cases, EW 47, 2022
(compared to 2011-21)
Número de casos de IRA, SE 47 de 2022
(comparado con 2011-21)

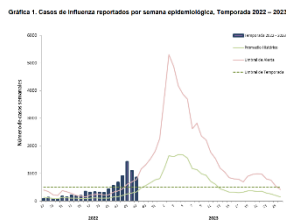




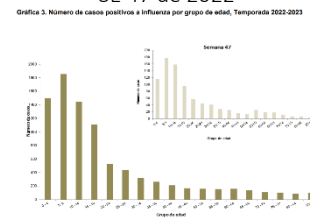
Puerto Rico

The number of influenza-positive cases by rapid test (864) decreased compared to the previous week, above the seasonal and alert threshold (Graph 1). Overall, influenza A (subtyping not performed) predominated. Among influenza cases, 35 were hospitalized, and 4 had a vaccination history against influenza. No influenza-associated deaths were recorded. The Ponce health region presented the highest case reporting rate. Most influenza cases occurred among children 5-9 years (Graph 2). During EWs 27, 2022, and 47, 2022, the Guayama, Ponce, Sabana Grande, Utuado, and Yauco municipalities registered the highest cumulative incidence of influenza, between 592.2 – 737.4 per-100 000 population (Graph 3). In addition, the COVID-19 incidence rate (184.4/100 000 pop.) has remained stable during recent weeks (Graph 4). / El número de casos de influenza positivos por prueba rápida (864) disminuyó respecto a la semana anterior, por encima de los umbrales estacional y de alerta (Gráfico 1). En general, predominó la influenza A (subtipo indeterminado). De los casos de influenza, 35 fueron hospitalizados y 4 tenían antecedentes de vacunación contra la influenza. No se registraron muertes asociadas a la influenza. La región de salud de Ponce presentó la mayor tasa de notificación de casos. La mayoría de los casos de influenza ocurrieron en niños de 5 a 9 años (Gráfico 2). De la SE 27ª la 47 de 2022, los municipios de Guayama, Ponce, Sabana Grande, Utuado y Yauco registraron la mayor incidencia acumulada de influenza, entre 592,2 y 737,4 por 100 000 habitantes (Gráfico 3). Además, la tasa de incidencia de COVID-19 (184,4/100 000 hab.) se ha mantenido estable durante las últimas semanas (Gráfico 4).

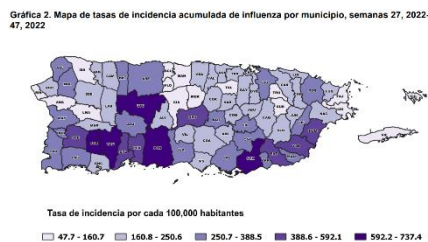
Graph 1. Puerto Rico: Influenza-positive cases EW 47, 2022-23
Casos positivos para influenza SE 47, 2022-23



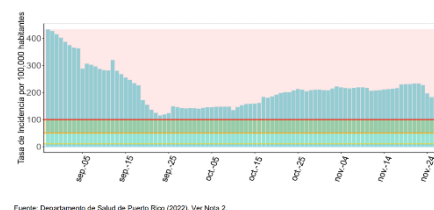
Graph 2. Puerto Rico: Number of cases positive for influenza by age group, EW 47, 2022
Número de casos positivos para influenza por grupo de edad, SE 47 de 2022



Graph 3. Puerto Rico: Influenza cumulative incidence rate per 100,000 population by municipality of residence, EW 27, 2022 - 47, 2022
Tasa de incidencia acumulada de influenza por 100.000 habitantes por municipio de residencia, SE 27 de 2022 - 47 de 2022



Graph 4. Puerto Rico: COVID-19 incidence rate per 100 000 population, 31 July 2022 – 26 November 2022
Tasa de incidencia de la COVID-19 por 100 000 habitantes, del 31 de julio al 26 de noviembre de 2022



Fuente: Departamento de Salud de Puerto Rico (2022). Ver Nota 2.



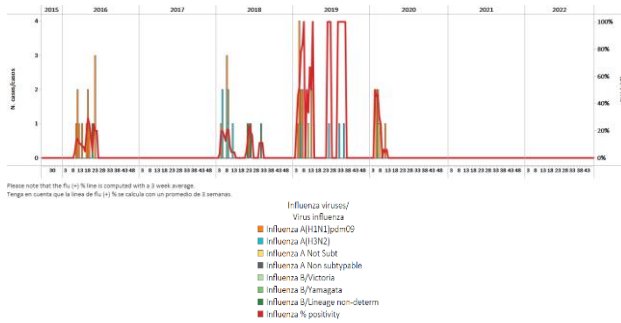


Saint Lucia / Santa Lucía

During EW 47, no samples were reported for influenza or respiratory syncytial virus. Of 517 samples analyzed for SARS-CoV-2, 3.7% tested positive, remaining stable compared to previous weeks (Graphs 1, 2, and 3). Overall, the number of influenza-like illness (ILI) cases among children under five years have fluctuated throughout the year, remaining below the epidemic threshold. ILI cases among persons five and older were slightly below the average of previous years (Graphs 4 and 5). Severe acute respiratory infection cases / 100 hospitalizations increased above the epidemic threshold, although below the average of prior years at low-intensity levels (Graph 6). The age groups most affected are 1-4-year-olds and 6-11 months, accounting for 50.0% and 16.7% of all SARI admissions. In 2022, 0.6% of hospital medical admissions corresponded to SARI cases. / Durante la SE 47 no se reportaron muestras para influenza ni virus respiratorio sincital. De 517 muestras analizadas para SARS-CoV-2, el 3,7 % resultaron positivas, manteniéndose estable en comparación con las semanas anteriores (Gráficos 1, 2 y 3). En general, el número de casos de enfermedades tipo influenza (ETI) en niños menores de cinco años ha fluctuado a lo largo del año, manteniéndose por debajo del umbral epidémico. Los casos de ETI en personas de cinco años y mayores estuvieron levemente por debajo del promedio de años anteriores (Gráficos 4 y 5). El número de casos de infección respiratoria aguda grave por cada 100 hospitalizaciones aumentó por encima del umbral epidémico, aunque por debajo del promedio de años anteriores en niveles de baja intensidad (Gráfico 6). Los grupos de edad más afectados fueron los de 1 a 4 años y de 6 a 11 meses, que representan el 50,0 % y el 16,7 % de todos los ingresos por IRAG. En 2022, el 0,6 % de los ingresos médicos hospitalarios correspondieron a casos de IRAG.

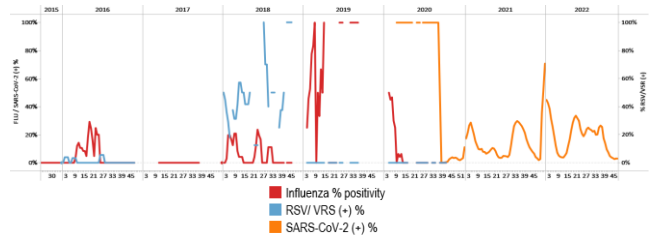
Graph 1. Saint Lucia: Influenza virus distribution, EW 47, 2015-22

Distribución del virus de la influenza, SE 47, 2015-22



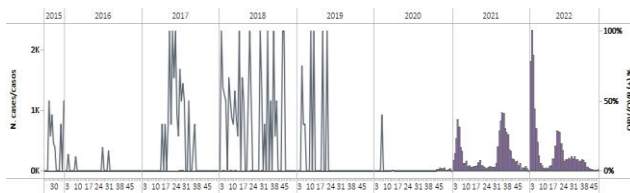
Graph 2. Saint Lucia: Influenza, RSV, and SARS-CoV-2 virus distribution, EW 47, 2015-22

Distribución de los virus influenza, VRS y SARS-CoV-2, SE 47, 2015-22



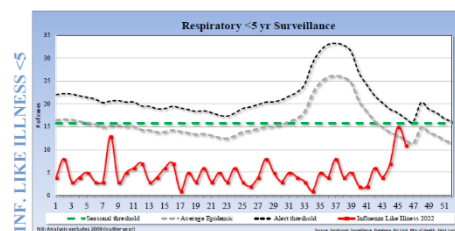
Graph 3. Saint Lucia: RSV, SARS-CoV-2, and other respiratory viruses distribution, EW 47, 2015-22

Distribución del VRS, SARS-CoV-2 y otros virus respiratorios, SE 47, 2015-22



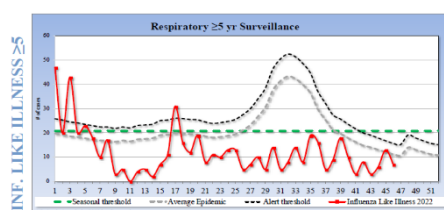
Graph 4. Saint Lucia: ILI case distribution among the < 5 years of age, EW 47, 2022 (compared to 2016-21)

Distribución de ETI entre los <5 años, SE 47, 2022 (comparado con 2016-21)



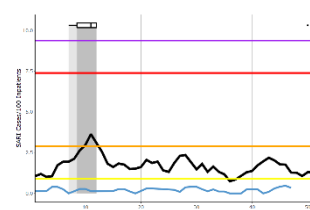
Graph 5. Saint Lucia: ILI case distribution among the ≥ 5 years of age, EW 47, 2022 (compared to 2016-21)

Número de casos de ETI en los ≥ 5 años, SE 47, 2022 (comparado con 2016-21)



Graph 6. Saint Lucia: SARI cases/100 hospitalizations, EW 47, 2022 (compared to 2016-21)

Casos de IRAG por cada 100 hospitalizaciones, SE 47 de 2022 (comparado con 2016-21)

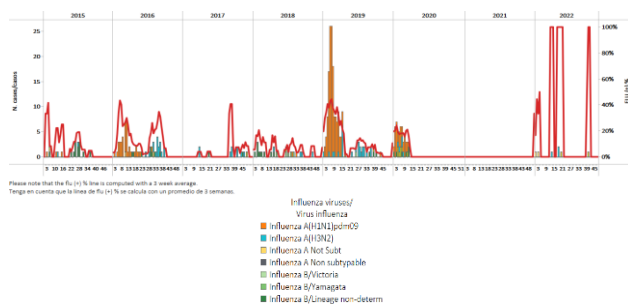




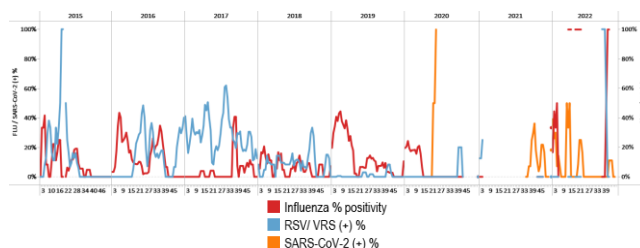
Suriname

During EW 47, 2022, no samples were analyzed for influenza or RSV. Influenza A(H3N2) circulated in previous months. No samples were analyzed for SARS-CoV-2 (Graphs 1, 2, and 3). In recent weeks, SARI cases / 100 hospitalizations increased above the average of previous years at a low-intensity level to decrease to baseline levels (Graph 4). / Durante la SE 47 de 2022, no se analizaron muestras para influenza o VRS. Influenza A(H3N2) circuló en meses anteriores. No se analizaron muestras para SARS-CoV-2 (Gráficos 1, 2 y 3). En semanas recientes, el número de casos de IRAG por cada 100 hospitalizaciones aumentó por encima del promedio de años anteriores ubicándose en un nivel de baja intensidad para luego disminuir a niveles basales (Gráfico 4).

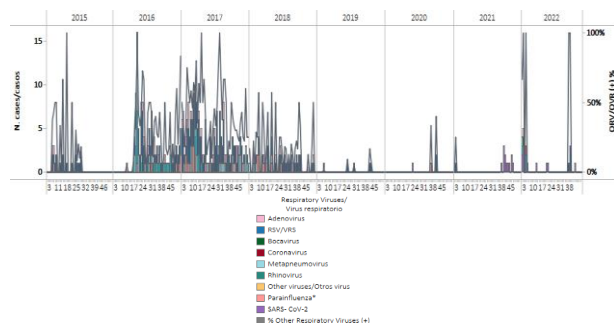
Graph 1. Suriname: Influenza virus distribution, EW 47, 2015-22
Distribución de virus influenza, SE 47 2015-22



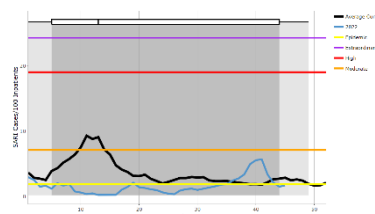
Graph 2. Suriname: Influenza, RSV, and SARS-CoV-2 distribution, EW 47, 2015-22
Distribución de los virus influenza, VRS y SARS-CoV-2, SE 47, 2015-22



Graph 3. Suriname: RSV, SARS-CoV-2, and other respiratory viruses distribution, EW 47, 2015-22
Distribución del VRS, SARS-CoV-2 y otros virus respiratorios, SE 47, 2015-22



Graph 4. Suriname: SARI cases/100 hospitalizations, EW 47, 2022 (compared to 2013-21)
Casos de IRAG por cada 100 hospitalizaciones, SE 47, 2022 (comparado con 2013-21)





SUBREGION
CENTRAL AMERICA / AMÉRICA CENTRAL



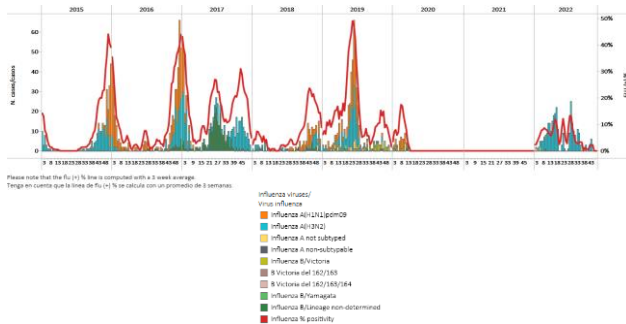


Costa Rica

During EW 47, no samples were analyzed for influenza or RSV. Influenza A(H3N2) circulated in previous weeks (Graphs 1, 2, and 3). Among eight samples analyzed for SARS-CoV-2, two tested positive (25.0%), and percent positivity increased compared to the previous registered (Graphs 2 and 4). SARI cases decreased, with activity below the average of prior years at low-intensity levels (Graph 5). / Durante la SE 47, no se analizaron muestras para influenza ni para VRS. Influenza A(H3N2) circuló en semanas previas (Gráficos 1, 2 y 3). De ocho muestras analizadas para SARS-CoV-2, dos resultaron positivas (25,0 %) y el porcentaje de positividad aumentó en comparación con el registro previo (Gráficos 2 y 4). El número de casos de IRAG disminuyó, con una actividad por debajo del promedio de años anteriores en niveles de baja intensidad (Gráfico 5).

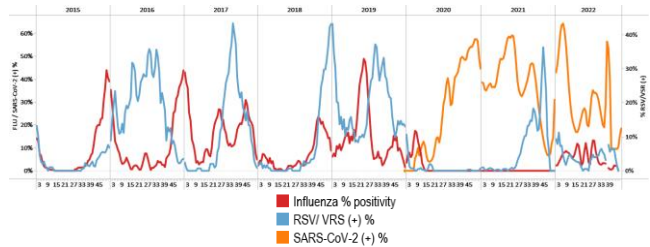
Graph 1. Costa Rica: Influenza virus distribution, EW 47, 2015-22

Distribución de virus influenza por SE 47, 2015-22



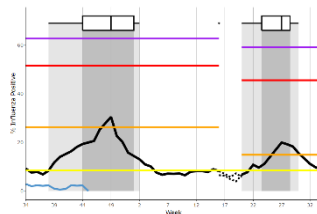
Graph 2. Costa Rica: Influenza, RSV, and SARS-CoV-2 distribution, EW 47, 2015-22

Distribución de los virus influenza, VRS y SARS-CoV-2, SE 47, 2015-22



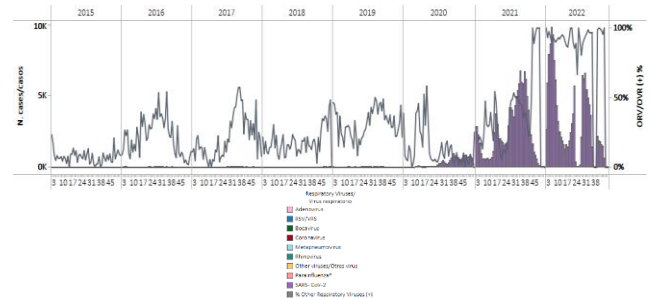
Graph 3. Costa Rica: Percent positivity for influenza, EW 47, 2022 (compared to 2011-21)

Porcentaje de positividad de influenza, SE 47 de 2022 (comparado con 2011-21)



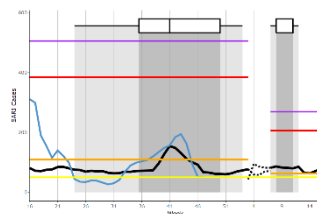
Graph 4. Costa Rica: RSV, SARS-CoV-2, and other respiratory viruses distribution, EW 47 2015-22

Distribución del VRS, SARS-CoV-2 y otros virus respiratorios, SE 47, 2015-22)



Graph 5. Costa Rica: Number of SARI cases, EW 47, 2022 (compared to 2013-21)

Número de casos de IRAG, SE 47 de 2022 (comparado con 2013-21)

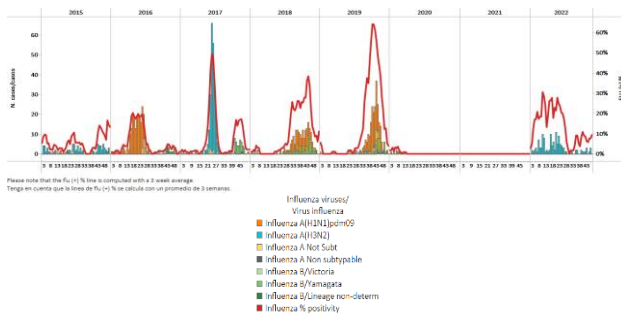




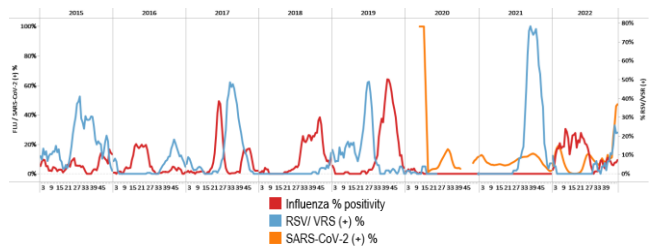
El Salvador

As of EW 47, no influenza detections were recorded, with the influenza A(H3N2) virus registered in the previous week. Influenza activity increased slightly below the average of prior years at low-intensity levels (Graphs 1 and 3). No respiratory syncytial virus detections were reported (Graph 2). Among six samples analyzed for SARS-CoV-2, three (50.0%) tested positive, an increase compared to the previous registered; it should be interpreted cautiously and will be confirmed in the following weeks. SARI cases / 100 hospitalizations continued above the previous years' average at moderate-intensity levels (Graph 5). Of the SARI cases, children under five were the most affected. / A la SE 47 no se registraron detecciones de influenza, registrándose el virus influenza A(H3N2) la semana pasada. La actividad de la influenza aumentó ligeramente por debajo del promedio de años anteriores en niveles de baja intensidad (Gráficos 1 y 3). No se reportaron detecciones de virus respiratorio sincitial (Gráfico 2). De seis muestras analizadas para SARS-CoV-2, tres (50,0 %) resultaron positivas, un aumento en comparación con el registro anterior; debe interpretarse con cautela y se confirmará en las próximas semanas. El número de casos de IRAG por cada 100 hospitalizaciones continuó por encima del promedio de años anteriores en niveles de intensidad moderada (Gráfico 5). De los casos de IRAG, los niños menores de cinco años fueron los más afectados.

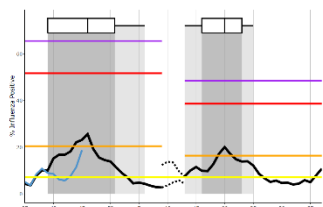
Graph 1. El Salvador: Influenza virus distribution,
EW 47, 2015-22
Distribución de virus influenza, SE 47, 2015-22



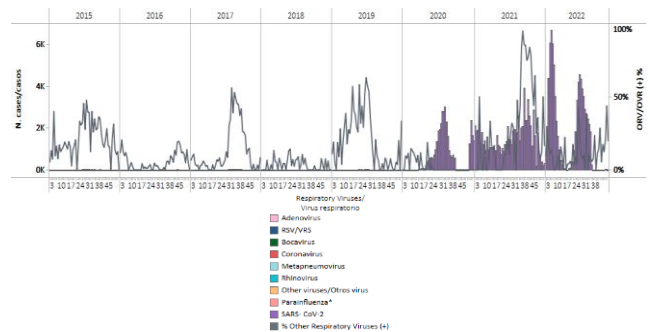
Graph 2. El Salvador: Influenza, RSV, and SARS-CoV-2 distribution,
EW 47 2015-22
Distribución de los virus influenza, VRS y SARS-CoV-2, SE 47, 2015-22



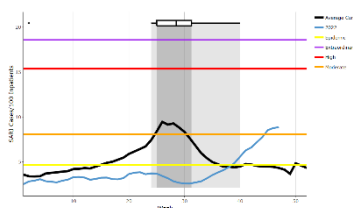
Graph 3. El Salvador: Percent positivity for influenza,
EW 47, 2022 (compared to 2010-21)
Porcentaje de positividad de influenza, SE 47 de 2022
(comparación 2010-21)



Graph 4. El Salvador: RSV, SARS-CoV-2, and other respiratory viruses
distribution, EW 47, 2015-22
Distribución del VRS, SARS-CoV-2 y otros virus respiratorios,
SE 47, 2015-22



Graph 5. El Salvador: Number of SARI cases / 100 inpatients
EW 47, 2022 (compared to 2016-2021)
Número de casos de IRAG / 100 hospitalizaciones,
SE 47 de 2022 (comparado con 2016-21)

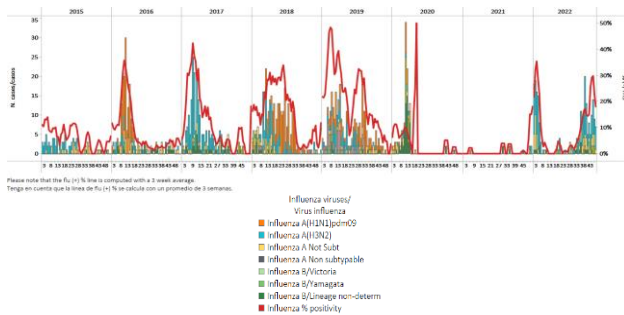




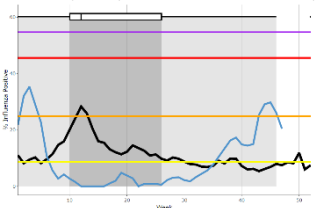
Guatemala

During EW 47, influenza A(H3N2) detections (where subtyping was performed) were recorded with increased activity at low-intensity levels for this time of year. In addition, a few respiratory syncytial virus detections were recorded at sentinel sites with increasing activity; among 1217 samples analyzed for SARS-CoV-2, 27 tested positive (2.2%) (Graphs 1, 2, 3, and 4). In addition, Rhinovirus, coronavirus, and parainfluenza detections were recorded during the reporting period. Influenza-like illness/1000 outpatients remained high at moderate-intensity levels (Graph 5). Severe acute respiratory infections/100 hospitalizations stayed below the average of previous years at baseline levels (Graph 6). / Durante la SE 47, se registraron detecciones de influenza A(H3N2) (en muestras con subtipo determinado) con una actividad incrementada, en niveles de baja intensidad para esta época del año. Además, en sitios centinela se registraron algunas detecciones de virus respiratorio sincitial con una actividad creciente; de 1217 muestras analizadas para SARS-CoV-2, 27 resultaron positivas (2,2 %) (Gráficos 1, 2, 3 y 4). Además, se registraron detecciones de rinovirus, coronavirus y parainfluenza durante el período del informe. El número de casos de ETI por cada 1000 pacientes ambulatorios se mantuvo alto en niveles de intensidad moderada (Gráfico 5). El número de infecciones respiratorias agudas graves por cada 100 hospitalizaciones se mantuvo por debajo del promedio de años anteriores en niveles basales (Gráfico 6).

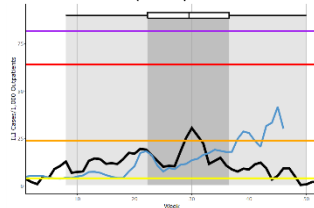
Graph 1. Guatemala: Influenza virus distribution, EW 47, 2015-22
Distribución de influenza, SE 47, 2015-22



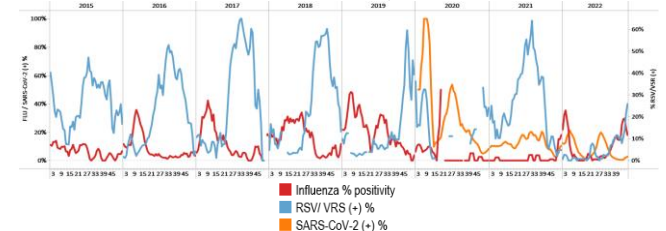
Graph 3. Guatemala: Percentage positivity for influenza, EW 47, 2022 (compared to 2010-21)
Porcentaje de positividad de influenza, SE 47 de 2022 (comparado con 2010-21)



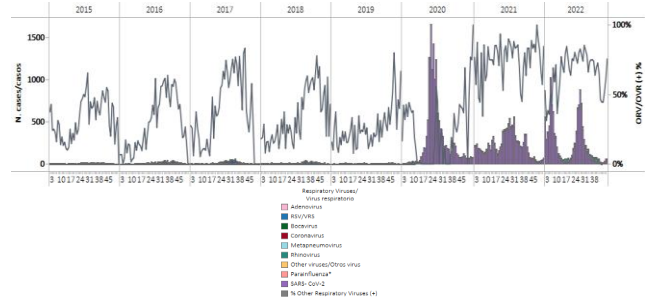
Graph 5. Guatemala: ILI cases/1000 outpatients, EW 47, 2022 (compared to 2015-21)
Casos de ETI por cada 1000 consultas ambulatorias, SE 47 de 2021 (comparado con 2015-21)



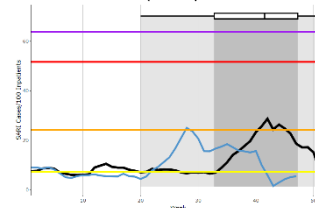
Graph 2. Guatemala: Influenza, RSV, and SARS-CoV-2 distribution, EW 47, 2015-22
Distribución de los virus influenza, VRS y SARS-CoV-2, SE 47, 2015-22



Graph 4. Guatemala: RSV, SARS-CoV-2, and other respiratory viruses distribution, EW 47, 2015-22
Distribución del VRS, SARS-CoV-2 y otros virus respiratorios, SE 47, 2015-22



Graph 6. Guatemala: Number of SARI cases / 100 inpatients, EW 47, 2022 (compared to 2017-21)
Número de casos de IRAG / 100 hospitalizaciones, SE 47 de 2022 (comparado con 2017-21)

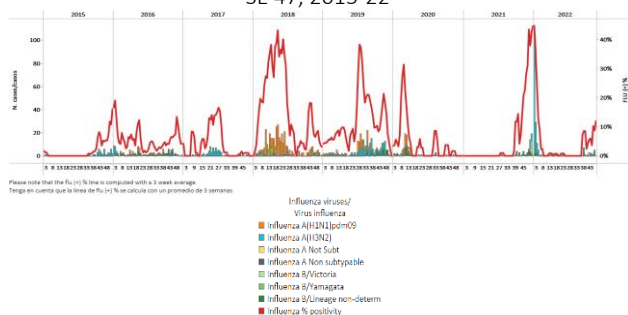




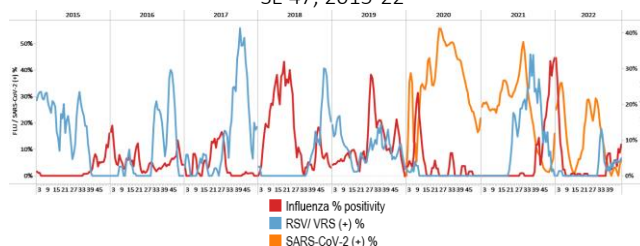
Honduras

In EW 47, no influenza detections were recorded. Influenza B (lineage undetermined) circulated the previous week. Influenza activity has steeply increased above the average of previous years at low-intensity levels. A single RSV detection was registered (Graphs 1, 2, and 3). At the national level, eight samples were analyzed for SARS-CoV-2, and one (12.5%) tested positive (Graphs 2 and 4). Severe acute respiratory infections have shown a slowly increasing trend remaining below epidemic levels; in contrast, influenza-like illness were below the average of previous years at baseline levels (Graphs 5 and 6). / En la SE 47 no se registraron detecciones de influenza. Influenza B (linaje indeterminado) circuló la semana previa. La actividad de la influenza ha aumentado considerablemente por encima del promedio de años anteriores en niveles de baja intensidad. Se registró una única detección de VRS (Gráficos 1, 2 y 3). A nivel nacional, se analizaron ocho muestras para SARS-CoV-2 y una (12,5 %) resultó positiva (Gráficos 2 y 4). Las infecciones respiratorias agudas graves han mostrado una tendencia a aumentar lentamente manteniéndose por debajo de los niveles epidémicos; en contraste, el número de casos de enfermedad tipo influenza estuvo por debajo del promedio de años anteriores en los niveles basales (Gráficos 5 y 6).

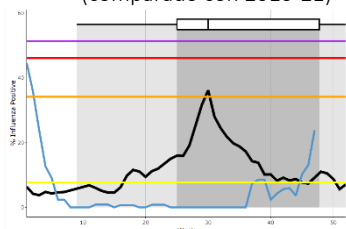
Graph 1. Honduras: Influenza virus distribution, EW 47, 2015-22
Distribución virus de la influenza, SE 47, 2015-22



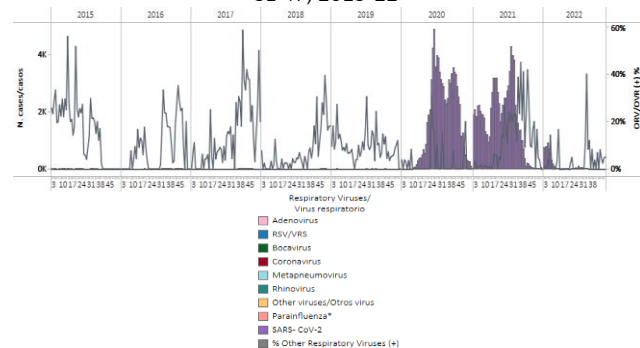
Graph 2. Honduras: Influenza, RSV, and SARS-CoV-2 distribution, EW 47, 2015-22
Distribución de los virus influenza, VRS y SARS-CoV-2, SE 47, 2015-22



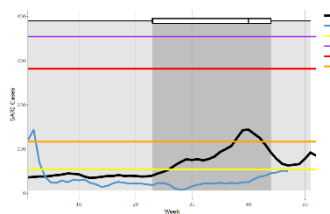
Graph 3. Honduras: Percent positivity for influenza, EW 47, 2022 (compared to 2010-21)
Porcentaje de positividad de influenza SE 47 de 2022 (comparado con 2010-21)



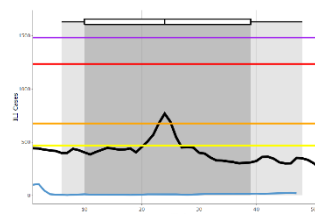
Graph 4. Honduras: RSV, SARS-CoV-2, and other respiratory virus distribution, EW 47, 2015-22
Distribución del VRS, SARS-CoV-2 y otros virus respiratorios, SE 47, 2015-22



Graph 5. Honduras: SARI cases, from sentinel surveillance, EW 47, 2022 (compared to 2010-21)
Casos de IRAG de la vigilancia centinela, SE 47 de 2022 (comparado con 2010-21)



Graph 6. Honduras: ILI cases, from sentinel surveillance, EW 47, 2022 (compared to 2010-21)
Casos de ETI de la vigilancia centinela, SE 47 de 2022 (comparado con 2010-21)

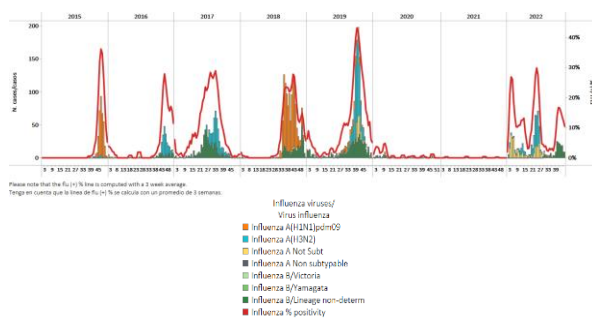




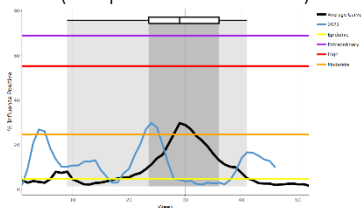
Nicaragua

During EW 46, a predominance of influenza B (lineage undetermined) detections was followed by a single influenza A(H3N2) detection. Influenza activity remained stable above the average of previous years at low-intensity levels. No respiratory syncytial virus detections were recorded, with one parainfluenza detection recorded during the reporting period (Graphs 1, 2, and 3). SARS-CoV-2 percent positivity remained stable, and detections were similar to the number registered by EW 45 (Graphs 2 and 4). In EW 46, 1.7% (13/755) of the analyzed samples tested positive for SARS-CoV-2. / Durante la SE 46, se registró un predominio de detecciones de influenza B (linaje indeterminado) al cual le siguió una sola detección de influenza A(H3N2). La actividad de la influenza se mantuvo estable por encima del promedio de años anteriores en niveles de baja intensidad. No se registraron detecciones de virus respiratorio sincitial, con una detección de parainfluenza registrada durante el período del informe (Gráficos 1, 2 y 3). El porcentaje de positividad del SARS-CoV-2 se mantuvo estable y las detecciones fueron similares a las registradas en la SE 45 (Gráficos 2 y 4). En la SE 46, el 1,7 % (13/755) de las muestras analizadas resultaron positivas para SARS-CoV-2.

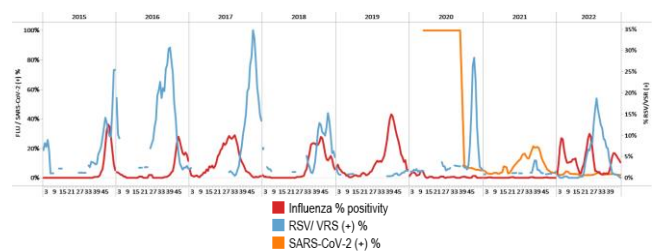
Graph 1. Nicaragua: Influenza virus distribution, EW 46, 2015-22
Distribución de influenza, SE 46, 2015-22



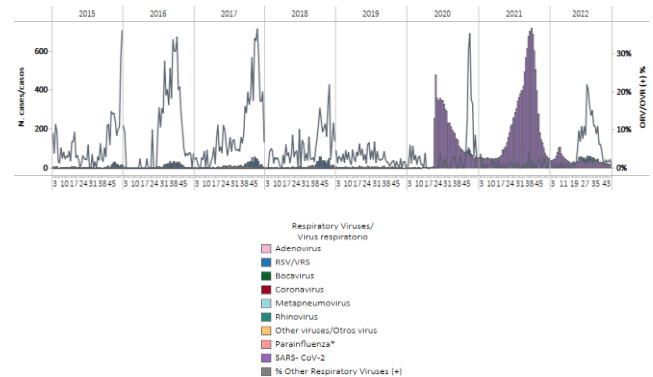
Graph 3. Nicaragua: Percent positivity for influenza, EW 46, 2022 (compared to 2010-21)
Porcentaje de positividad, SE 46 de 2022 (comparado con 2010-21)



Graph 2. Nicaragua: Influenza, RSV, and SARS-CoV-2 distribution, EW 46, 2015-22
Distribución de los virus influenza, VRS y SARS-CoV-2, SE 46, 2015-22



Graph 4. Nicaragua: RSV and other respiratory virus distribution, EW 46, 2015-22
Distribución del VRS y otros virus respiratorios, SE 46, 2015-22

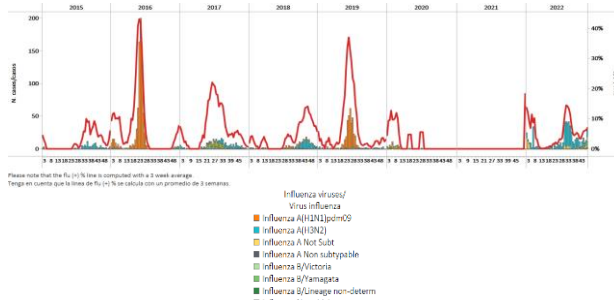




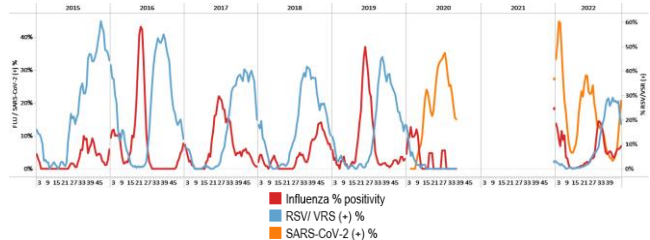
Panama / Panamá

During EW 47, influenza A(H3N2) detections (where subtyping was performed) were registered, with the co-circulation of influenza B/Victoria (where lineage was determined) at sentinel sites. Influenza activity was below the average of previous years at baseline levels. Respiratory syncytial virus activity was high, although decreasing in recent weeks (Graphs 1, 2, 3, and 4). During the reporting period, the co-circulation of rhinovirus, parainfluenza, metapneumovirus, and adenovirus was recorded at similar levels to pre-pandemic years. Among 977 samples analyzed for SARS-CoV-2, 224 (22.9%) tested positive, with increased percent positivity, at similar levels to those observed during EW 28, 2022 (Graphs 2 and 4). / Durante la SE 47, en los sitios centinela se registraron detecciones de influenza A(H3N2) (muestras con subtipo determinado), con circulación concurrente de influenza B/Victoria (en muestras con linaje determinado). La actividad de la influenza estuvo por debajo del promedio de años anteriores en los niveles basales. La actividad del virus respiratorio sincitial estuvo alta, aunque disminuyó en las últimas semanas (Gráficos 1, 2, 3 y 4). Durante el período del informe, se registró la circulación concurrente de rinovirus, parainfluenza, metapneumovirus y adenovirus en niveles similares a los años previos a la pandemia. De 977 muestras analizadas para SARS-CoV-2, 224 (22,9 %) resultaron positivas, con un aumento en el porcentaje de positividad, en niveles similares a los observados durante la SE 28 de 2022 (Gráficos 2 y 4).

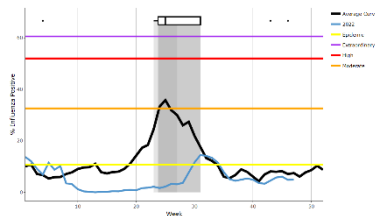
Graph 1. Panama: Influenza virus distribution, EW 47, 2015-22
Distribución virus de influenza, SE 47, 2015-22



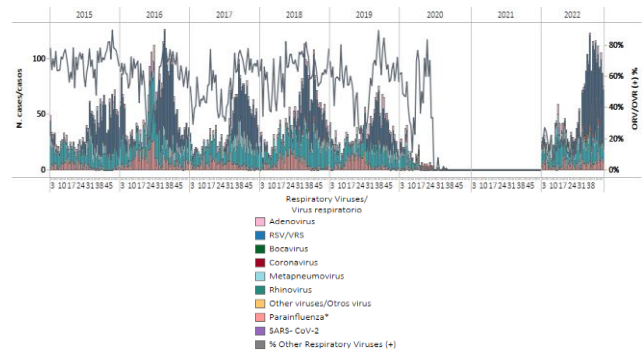
Graph 2. Panama: Influenza, RSV, and SARS-CoV-2 distribution, EW 47, 2015-22
Distribución de los virus influenza, VRS, and SARS-CoV-2, SE 47, 2015-22



Graph 3. Panama: Percent positivity for influenza, from sentinel surveillance, EW 47, 2022 (compared to 2010-21)
Porcentaje de positividad de influenza, de la vigilancia centinela, SE 47 de 2020 (comparado con 2010-21)

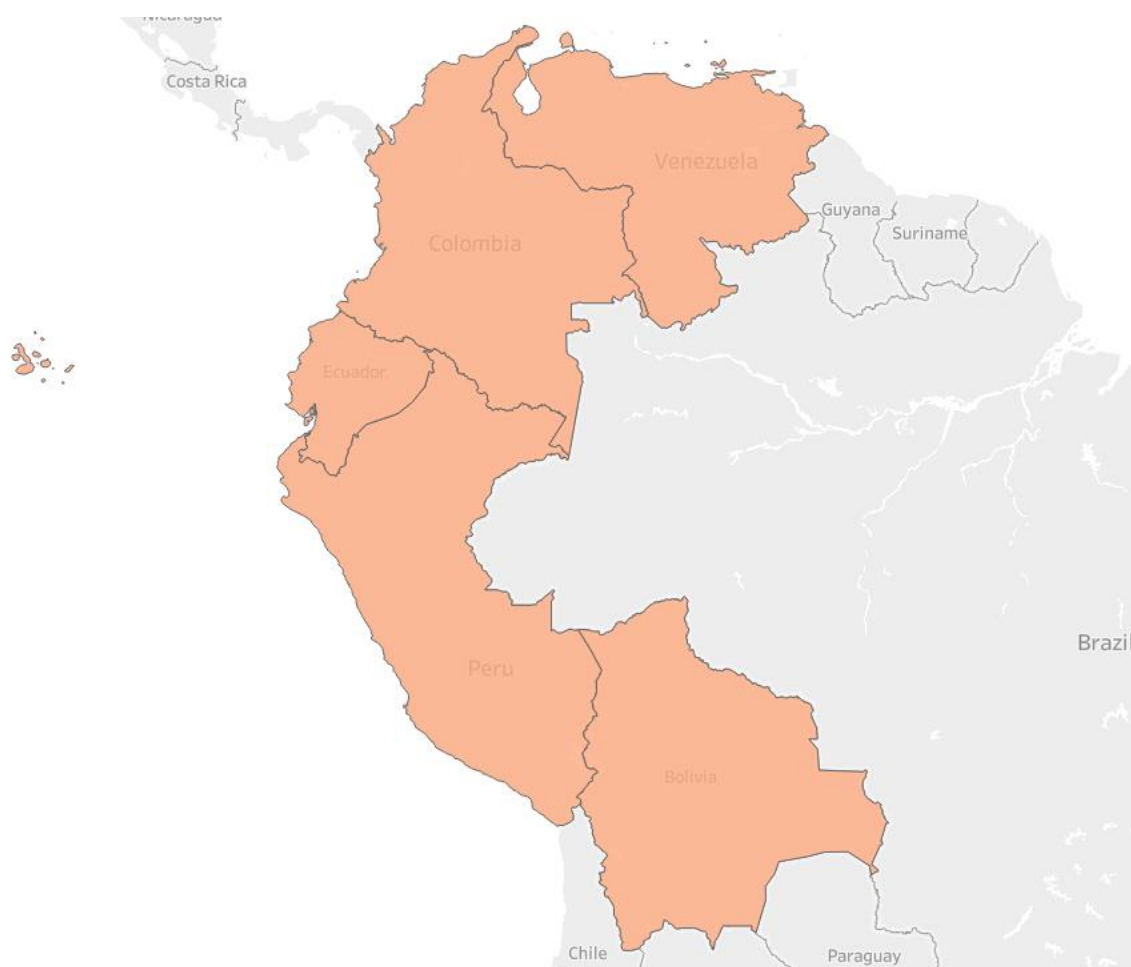


Graph 4. Panama: RSV and other respiratory viruses distribution, EW 47, 2015-22
Distribución del VRS y otros virus respiratorios, SE 47, 2015-22





SUBREGION
SOUTH AMERICA / AMÉRICA DEL SUR – ANDEAN COUNTRIES / PAÍSES
ANDINOS

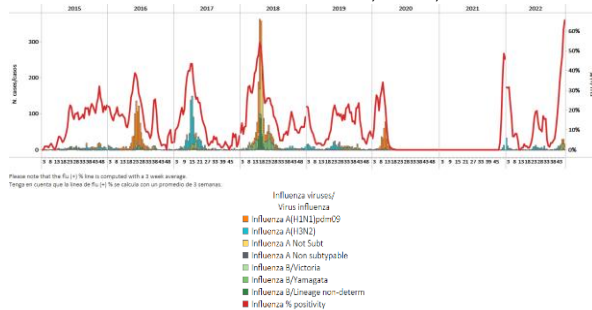




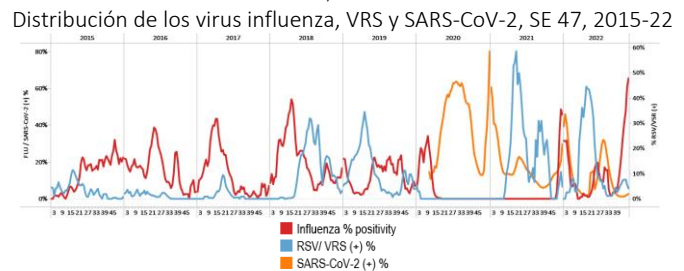
Bolivia

During EW 47, influenza B/Victoria predominance was registered, followed by influenza A(H3N2) and A(H1N1)pdm09 (where subtyping was performed) (Graph 1). Influenza activity increased above historical levels at moderate-intensity levels. Few respiratory syncytial virus detections were reported with decreasing activity. In contrast, SARS-CoV-2 detections and percent positivity remained stable, with 3.3% of samples testing positive (Graphs 2, 3, and 4). SARI cases / 100 hospitalizations remained high, with activity at moderate-intensity levels (Graph 5). Among 41 sampled SARI cases, 14.6% were positive for influenza; none tested positive for SARS-CoV-2. Influenza-associated SARI cases mainly occurred among those aged 5-19 years. / Durante la SE 47 se registró el predominio de influenza B/Victoria, seguida de influenza A(H3N2) y A(H1N1)pdm09 (en muestras con subtipo determinado) (Gráfico 1). La actividad de la influenza aumentó por encima de los niveles históricos ubicándose en niveles de intensidad moderada. Se notificaron pocas detecciones de virus respiratorio sincitial con una actividad decreciente. Por el contrario, las detecciones de SARS-CoV-2 y el porcentaje de positividad se mantuvieron estables, con un 3,3 % de las muestras que resultaron positivas (Gráficos 2, 3 y 4). El número de casos de IRAG por cada 100 hospitalizaciones se mantuvo elevado, con una actividad en niveles de intensidad moderada (Gráfico 5). De 41 casos de IRAG con muestra, el 14,6 % resultó positivo para influenza; ninguno resultó positivo para SARS-CoV-2. Los casos de IRAG asociados a la influenza ocurrieron principalmente en personas de 5 a 19 años.

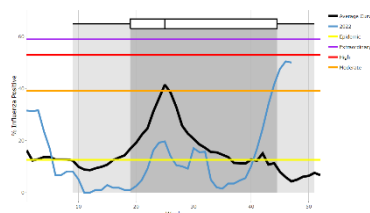
Graph 1. Bolivia: Influenza virus distribution,
EW 47, 2015-22
Distribución de influenza, SE 47, 2015-22



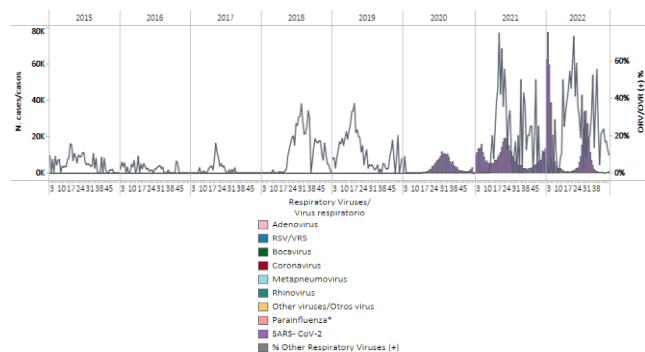
Graph 2. Bolivia: Influenza, RSV, and SARS-CoV-2 distribution,
EW 47, 2015-22
Distribución de los virus influenza, VRS y SARS-CoV-2, SE 47, 2015-22



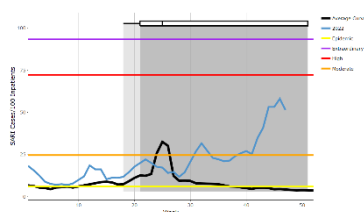
Graph 3. Bolivia: Percent positivity for influenza, from sentinel
surveillance; EW 47, 2022 (compared to 2010-21)
Porcentaje de positividad de influenza de la vigilancia centinela;
SE 47 de 2022 (comparado con 2010-21)



Graph 4. Bolivia: RSV, SARS-CoV-2, and other respiratory viruses
distribution, EW 47, 2015-22
Distribución del VRS, SARS-CoV-2 y otros virus respiratorios,
SE 47, 2015-22



Graph 5. Bolivia: Number of SARI cases / 100 inpatients,
EW 47, 2022 (compared to 2015-21)
Número de casos de IRAG / 100 hospitalizaciones,
SE 47 de 2022 (comparado con 2015-21)

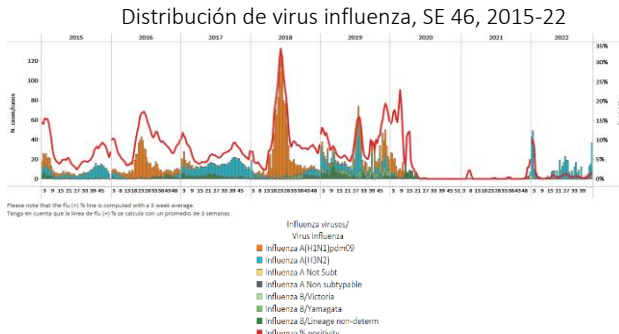




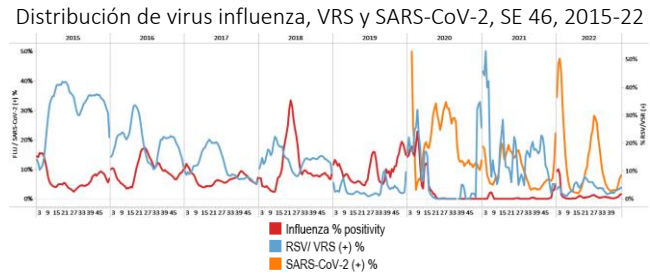
Colombia

During EW 46, influenza A(H3N2) detections predominated, followed by a single influenza B (lineage undetermined) detection, with activity at baseline levels. Respiratory syncytial virus detections were recorded with percent positivity at low levels compared to previous years (Graphs 1, 2, and 3). SARS-CoV-2 percent positivity (7.9%) increased compared to the prior registered, with similar detections than reported last week (Graphs 2 and 4). The number of SARI cases declined, remaining above the average of previous years at low-intensity levels (Graph 5), while acute respiratory infection cases remained stable at low-intensity levels (Graph 6). / Durante la SE 46, predominaron las detecciones de influenza A(H3N2), seguidas de una sola detección de influenza B (linaje indeterminado), con una actividad en los niveles basales. Se registraron detecciones de virus respiratorio sincitial con un porcentaje de positividad en niveles bajos en comparación con años anteriores (Gráficos 1, 2 y 3). El porcentaje de positividad del SARS-CoV-2 (7,9 %) aumentó en comparación con el registrado previamente, con detecciones similares a las reportadas la semana pasada (Gráficos 2 y 4). El número de casos de IRAG disminuyó, manteniéndose por encima del promedio de años anteriores en niveles de baja intensidad (Gráfico 5), mientras que los casos de infecciones respiratorias agudas se mantuvieron estables en niveles de baja intensidad (Gráfico 6).

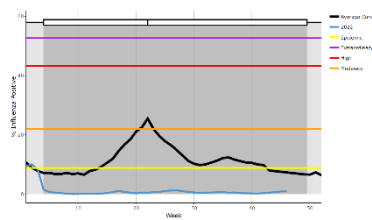
Graph 1. Colombia: Influenza virus distribution, EW 46, 2015-22



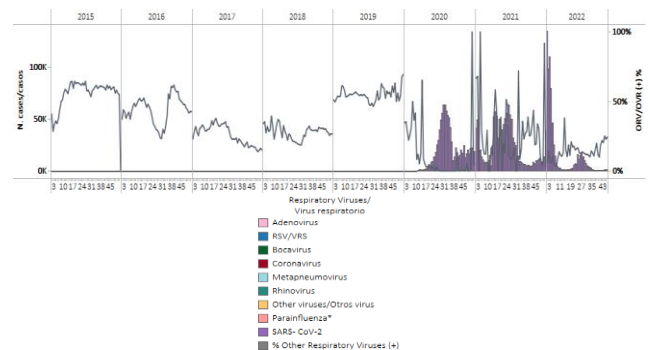
Graph 2. Colombia: Influenza, RSV and SARS-CoV-2 distribution, EW 46, 2015-22



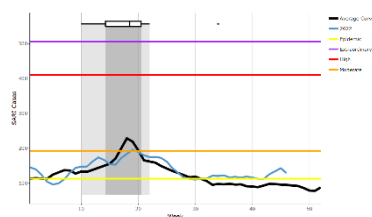
Graph 3. Colombia: Percent positivity for influenza, EW 46, 2022 (compared to 2010-21)
Porcentaje de positividad de influenza, SE 46 de 2022 (comparado con 2010-21)



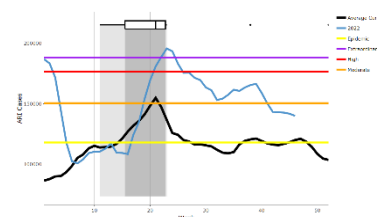
Graph 4. Colombia: RSV, SARS-CoV-2, and other respiratory virus distribution, EW 46, 2015-22
Distribución del VRS, SARS-CoV-2 y otros virus respiratorios, SE 46 2015-22



Graph 5: Colombia: SARI cases, EW 46, 2022 (compared to 2013-21)
Casos de IRAG, SE 46 de 2022 (comparado con 2013-21)



Graph 6. Colombia: Number of ARI cases EW 46, 2022 (compared to 2012-21)
Número de casos de IRA SE 46 de 2022 (comparado con 2012-21)

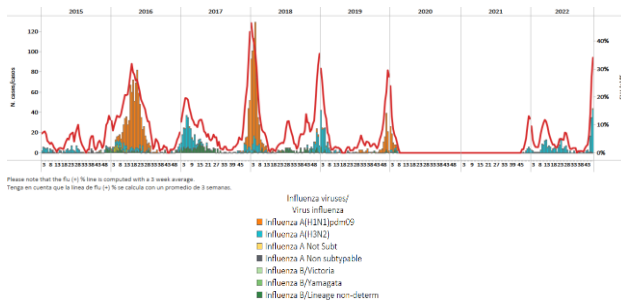




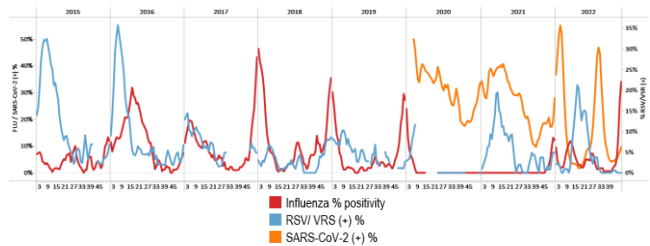
Ecuador

In EW 47, influenza A(H3N2) detections predominated, followed by influenza A(H1N1)pdm09, with increased influenza activity above the average of previous years at moderate-intensity levels for this time of year. No respiratory syncytial virus detections were recorded (Graphs 1, 2, and 3). SARS-CoV-2 percent positivity (11.3%) increased, with activity at similar levels recorded early this year (Graphs 2 and 4). SARI cases / 100 inpatients increased at low-intensity levels for this time of year; in contrast, pneumonia cases remained at baseline levels (Graphs 5 and 6). / En la SE 47 predominaron las detecciones de influenza A(H3N2), seguida de influenza A(H1N1)pdm09, con aumento de la actividad de influenza por encima del promedio de años anteriores en niveles de intensidad moderada para esta época del año. No se registraron detecciones de virus respiratorio sincitial (Gráficos 1, 2 y 3). El porcentaje de positividad del SARS-CoV-2 (11,3 %) aumentó, con una actividad en niveles similares a los registrados a principios de este año (Gráficos 2 y 4). El número de casos de IRAG por cada 100 pacientes hospitalizados aumentó, ubicándose en niveles de baja intensidad para esta época del año; en cambio, los casos de neumonía se mantuvieron en niveles basales (Gráficos 5 y 6).

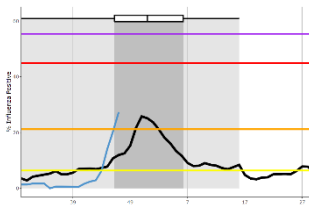
Graph 1. Ecuador: Influenza virus distribution from SARI sentinel cases, EW 47, 2015-22
Distribución de virus influenza de casos de IRAG centinela SE 47, 2015-22



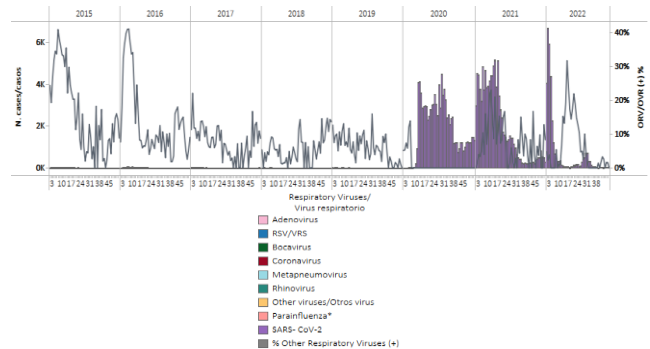
Graph 2. Ecuador: Influenza, RSV, and SARS-CoV-2 distribution EW 47, 2015-22
Distribución de los virus influenza, VRS y SARS-CoV-2, SE 47, 2015-22



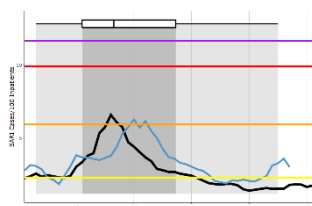
Graph 3. Ecuador: Percent positivity for influenza, EW 47, 2022 (compared to 2011-21)
Porcentaje de positividad de influenza, SE 47 de 2022 (comparado con 2011-21)



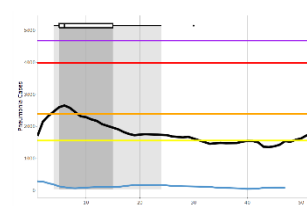
Graph 4. Ecuador: RSV, SARS-CoV-2, and other respiratory viruses distribution, (non-sentinel sites) EW 47, 2015-22
Distribución del VRS, SARS-CoV-2 y otros virus respiratorios, (sitios no centinela) SE 47, 2015-22



Graph 5. Ecuador: Number of SARI cases / 100 inpatients, EW 47, 2022 (compared to 2015-21)
Número de casos de IRAG / 100 hospitalizaciones, SE 47 de 2022 (comparado con 2015-21)



Graph 6. Ecuador: Pneumonia cases, EW 47, 2022 (compared to 2013-21)
Casos de neumonía, SE 47 de 2022 (comparado con 2013-21)

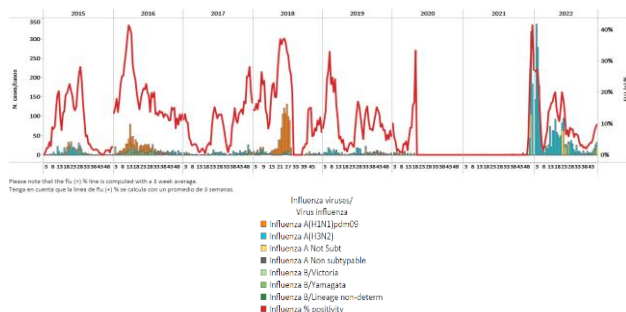




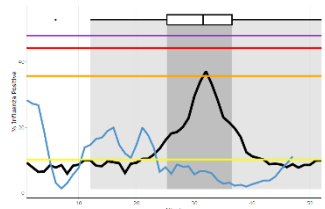
Peru / Perú

During EW 47, influenza B/Victoria was most frequently detected, followed by A(H3N2) virus (Graph 1). As a result, influenza percent positivity has increased above the average of previous years at a low-intensity level (Graph 3). No respiratory syncytial virus detections were recorded; SARS-CoV-2 percent positivity (36.6%) steeply increased (Graphs 2 and 4). Most SARS-CoV-2 cases were recorded in Lima and Callao. / Durante la SE 47, el virus influenza B/Victoria fue el más frecuentemente detectado, seguido por el virus A(H3N2) (Gráfico 1). Como resultado, el porcentaje de positividad de influenza ha aumentado por encima del promedio de años anteriores en un nivel de baja intensidad (Gráfico 3). No se registraron detecciones de virus respiratorio sincitial; el porcentaje de positividad del SARS-CoV-2 (36,6 %) aumentó considerablemente (Gráficos 2 y 4). La mayoría de los casos de SARS-CoV-2 se registraron en Lima y Callao.

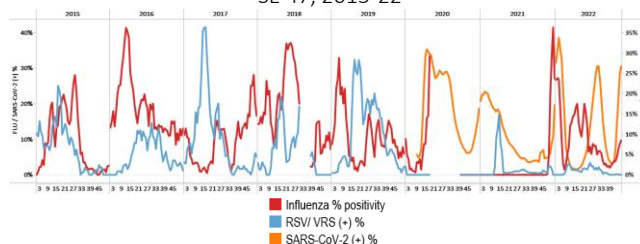
Graph 1. Peru: Influenza virus distribution, EW 47, 2015-22
Distribución de virus influenza, SE 47, 2015-22



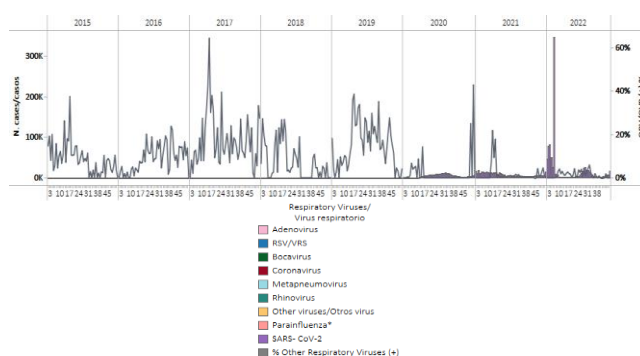
Graph 3. Peru: Percent positivity for influenza, EW 47, 2022
(compared to 2010-20)
Porcentaje de positividad de influenza, SE 47 de 2022
(comparado con 2010-20)



Graph 2. Peru: Influenza, RSV, and SARS-CoV-2 distribution, EW 47, 2015-22
Distribución de virus influenza, VRS y SARS-CoV-2, SE 47, 2015-22



Graph 4. Peru: RSV, SARS-CoV-2, and other respiratory viruses distribution, EW 47, 2015-22
Distribución del VRS, SARS-CoV-2 y otros virus respiratorios, SE 47, 2015-22

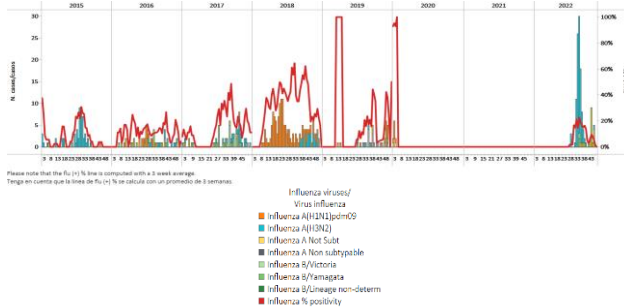




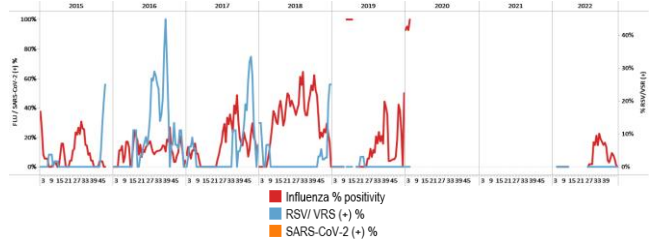
Venezuela

During EW 47, no influenza detections were reported (Graph 1), with the circulation of A(H3N2) in previous weeks. In addition, no RSV detections were recorded (Graph 2). However, influenza activity remained at baseline levels (Graph 3). No other respiratory virus detections were recorded in EW 47 (Graph 4). / Durante la SE 47 no se reportaron detecciones de influenza (Gráfico 1), con circulación de A(H3N2) en semanas previas. Además, no se registraron detecciones de VRS (Gráfico 2). Sin embargo, la actividad de la influenza se mantuvo en los niveles basales (Gráfico 3). No se registraron otras detecciones de virus respiratorios en la SE 47 (Gráfico 4).

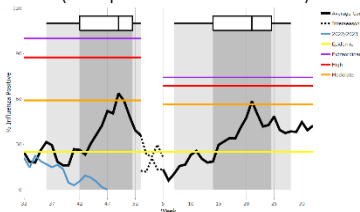
Graph 1. Venezuela: Influenza virus distribution by EW 47, 2015-22
Distribución de virus influenza por SE 47, 2015-22



Graph 2. Venezuela: Influenza, RSV, and SARS-CoV-2 distribution, EW 47, 2015-22
Distribución de virus influenza, VRS y SARS-CoV-2, SE 47, 2015-22



Graph 3. Venezuela: Percent positivity for influenza, EW 42, 2022
(compared to 2010-20)
Porcentaje de positividad de influenza, SE 42 de 2022
(comparado con 2010-20)





SUBREGION
SOUTH AMERICA / AMÉRICA DEL SUR
SOUTH CONE AND BRAZIL / CONO SUR Y BRASIL

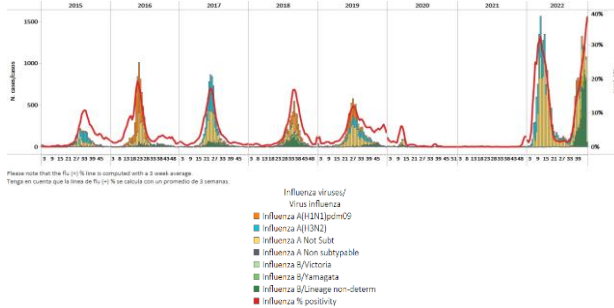




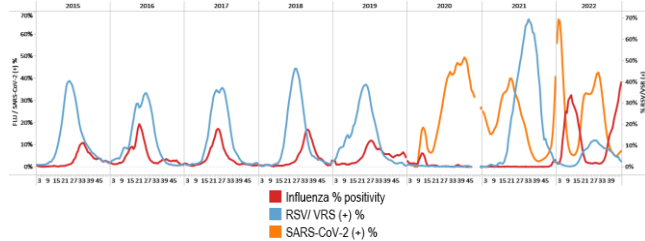
Argentina

During EW 46, nationally, influenza B (lineage undetermined) was more frequently detected, followed by influenza A (subtype undetermined). Influenza percent positivity remained elevated above the average of previous seasons at a high-intensity level for this time of year (Graphs 1 and 3). In contrast, a single respiratory syncytial virus detection was recorded. SARS-CoV-2 percent positivity (7.1%) increased compared to previous weeks (Graphs 2 and 4). ILI consultations were above the average of previous seasons for this time of year at low-intensity levels (Graph 5); besides, the number of SARI cases remained stable at baseline levels (Graph 6). / Durante la SE 46, a nivel nacional, se detectó con mayor frecuencia influenza B (linaje indeterminado), seguido de influenza A (subtipo indeterminado). El porcentaje de positividad de influenza se mantuvo elevado por encima del promedio de temporadas anteriores en un nivel de alta intensidad para esta época del año (Gráficos 1 y 3). Por el contrario, se registró una única detección de virus respiratorio sincitial. El porcentaje de positividad del SARS-CoV-2 (7,1 %) aumentó en comparación con las semanas anteriores (Gráficos 2 y 4). Las consultas por ETI estuvieron por encima del promedio de temporadas anteriores para esta época del año en niveles de baja intensidad (Gráfico 5); además, el número de casos de IRAG se mantuvo estable en los niveles basales (Gráfico 6).

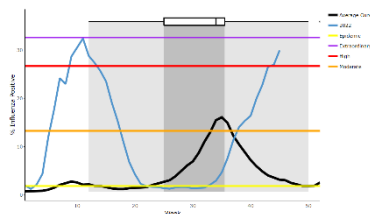
Graph 1. Argentina: Influenza virus distribution, EW 46, 2015-22
Distribución de virus influenza, SE 46, 2015-22



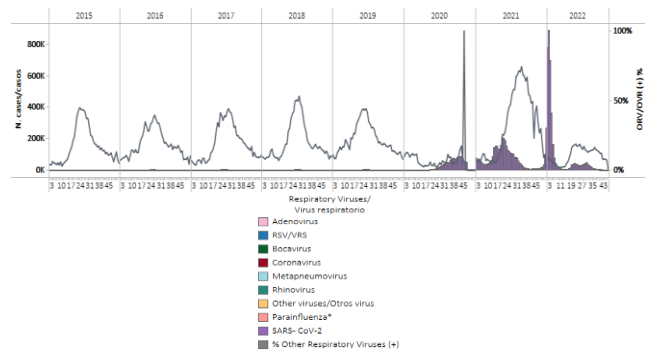
Graph 2. Argentina: Influenza, RSV, and SARS-CoV2 distribution
EW 46, 2015-22
Distribución de virus influenza, VRS y SARS-CoV-2,
SE 46, 2015-22



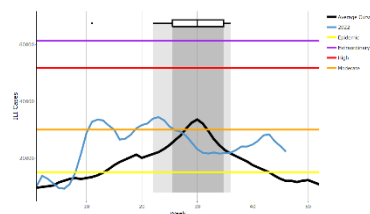
Graph 3. Argentina: Percent positivity for influenza, EW 46, 2022
(compared to 2010-21)
Porcentaje de positividad de influenza, SE 46 de 2022
(comparado con 2010-21)



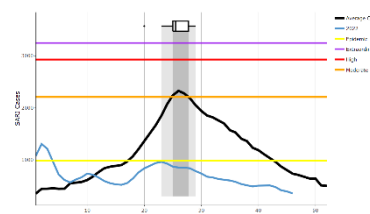
Graph 4. Argentina: RSV, SARS-CoV-2, and other respiratory virus
distribution, EW 46, 2014-22
Distribución del VRS, SARS-CoV-2 y otros virus respiratorios,
SE 46, 2014-22



Graph 5. Argentina: Number of ILI cases, EW 46, 2022
(compared to 2012-21)
Número de casos de ETI, SE 46 de 2022
(comparado con 2012-21)



Graph 6. Argentina: Number of SARI cases, EW 46, 2022
(compared to 2012-21)
Número de casos de IRAG, SE 46 de 2022
(comparado con 2012-21)

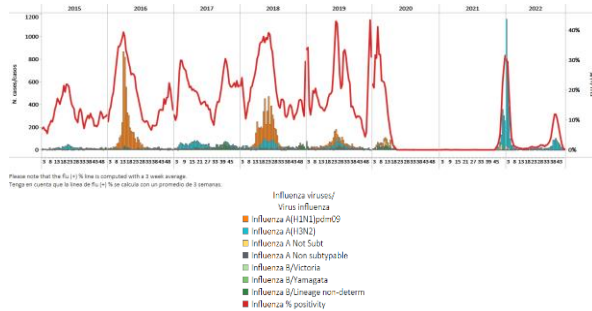




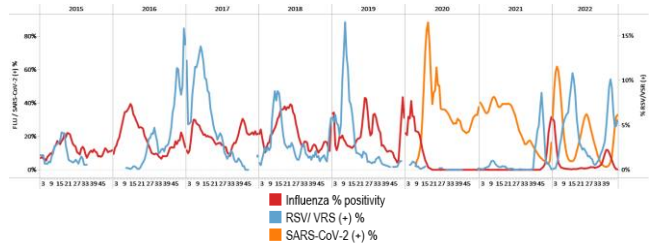
Brazil / Brasil

As of EW 47, few influenza A(H3N2) detections were recorded. As a result, influenza percent positivity (0.2%) remained very low at baseline levels (Graphs 1 and 3). In addition, respiratory syncytial virus detections and percent positivity continue to be high but decreasing. Besides, SARS-CoV-2 detections and percent positivity (31.6%) significantly increased (Graphs 2 and 4). / En la SE 47 se registraron pocas detecciones de influenza A(H3N2). Como resultado, el porcentaje de positividad de influenza (0,2 %) se mantuvo muy bajo en los niveles basales (Gráficos 1 y 3). Además, las detecciones del virus respiratorio sincitial y el porcentaje de positividad continúan siendo altos pero en disminución. Además, las detecciones de SARS-CoV-2 y el porcentaje de positividad (31,6 %) aumentaron significativamente (Gráficos 2 y 4).

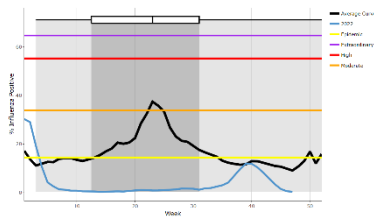
Graph 1. Brazil: All NICs. Influenza virus distribution, EW 47, 2015-22
Distribución de virus influenza, SE 47, 2015-22



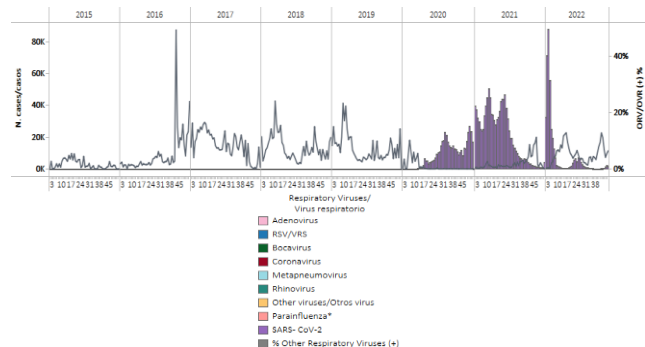
Graph 2. Brazil: All NICs. Influenza, RSV, and SARS-CoV-2, distribution, EW 47, 2015-22
Distribución de los virus influenza, VRS y SARS-CoV-2, SE 47, 2015-22



Graph 3. Brazil: Percent positivity for influenza, EW 47, 2022 (compared to 2011-21)
Porcentaje de positividad de influenza, SE 47 de 2022 (comparado con 2011-21)



Graph 4. Brazil: All NICs. RSV, SARS-CoV-2, and other respiratory virus distribution, EW 47, 2015-22
Distribución del VRS, SARS-CoV-2 y otros virus respiratorios, SE 47 2015-22

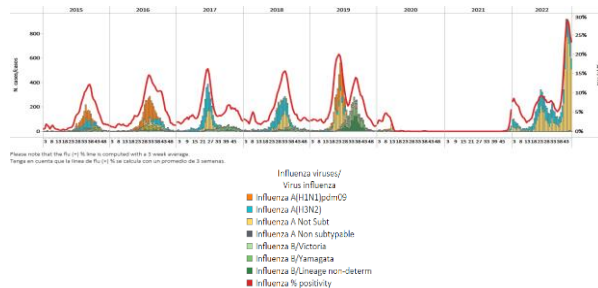




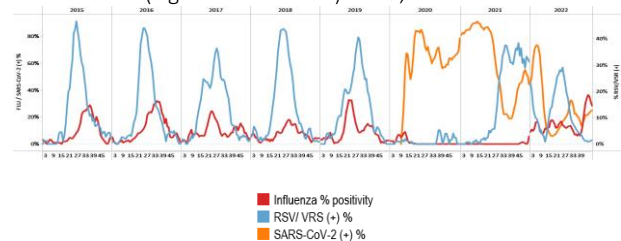
Chile

During EW 47, influenza A(H3N2) detections predominated, followed by A(H1N1)pdm09 and influenza B/Victoria. Influenza activity decreased at 20.7% positivity, above the average of previous seasons at high-intensity levels for this time of year (Graphs 1 and 3). Respiratory syncytial virus activity levels and percent positivity remained stable, while SARS-CoV-2 activity increased (6.1%) compared to the previous week (Graphs 2 and 4). Influenza-like illness visits remained high and continued at extraordinary-intensity levels (Graph 5); among sampled ILI cases (184), 28.8% tested positive for influenza, while 7.6% were SARS-CoV-2 cases. Severe acute respiratory infection cases / 100 hospitalizations increased slightly above the average of previous seasons at a low-intensity level (Graph 6). Of 129 sampled SARI cases, 8.5% were COVID-19 cases, and 3.1% tested positive for influenza. / Durante la SE 47 predominaron las detecciones de influenza A(H3N2), seguidas de A(H1N1)pdm09 e influenza B/Victoria. La actividad de la influenza disminuyó a 20,7 % de positividad, por encima del promedio de temporadas anteriores en niveles de alta intensidad para esta época del año (Gráficos 1 y 3). Los niveles de actividad del virus respiratorio sincitial y el porcentaje de positividad se mantuvieron estables, mientras que la actividad del SARS-CoV-2 aumentó (6,1 %) con respecto a la semana anterior (Gráficos 2 y 4). Las visitas por enfermedad tipo influenza se mantuvieron altas y continuaron en niveles de intensidad extraordinaria (Gráfico 5); de los casos de ETI con muestra (184), el 28,8 % resultó positivo para influenza, mientras que el 7,6 % fueron casos de SARS-CoV-2. El número de casos de infección respiratoria aguda grave por cada 100 hospitalizaciones aumentó levemente por encima del promedio de temporadas anteriores en un nivel de baja intensidad (Gráfico 6). De 129 casos de IRAG con muestra, el 8,5 % fueron casos de la COVID-19 y el 3,1 % resultaron positivos para influenza.

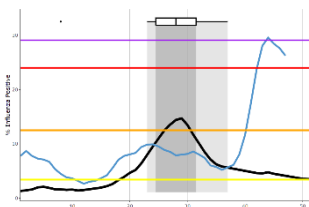
Graph 1. Chile: Influenza virus distribution, EW 47, 2015-22
Distribución de virus de influenza, SE 47, 2015-22



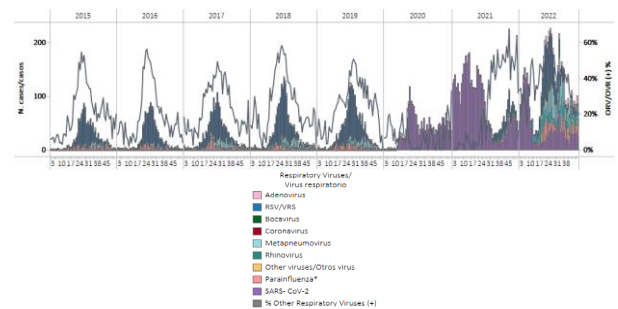
Graph 2. Chile: Influenza, RSV, and SARS-CoV-2, distribution, (sentinel surveillance) EW 47, 2015-22
Distribución de los virus influenza, VRS y SARS-CoV-2, (vigilancia centinela) SE 47, 2015-22



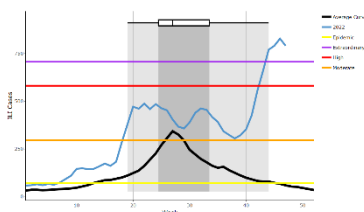
Graph 3. Chile: Percent positivity for influenza, EW 47, 2022 (compared to 2010-21)
Porcentaje de positividad de influenza, SE 47 de 2022 (comparado con 2010-21)



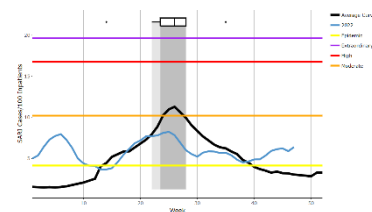
Graph 4. Chile: RSV, SARS-CoV-2, and other respiratory viruses distribution, (sentinel surveillance) EW 47, 2015-22
Distribución del VRS, SARS-CoV-2 y otros virus respiratorios (vigilancia centinela) SE 47, 2015-22



Graph 5. Chile: Number of ILI cases EW 47, 2022 (compared to 2015-21)
Número de consultas por ETI, SE 47 de 2022 (comparado con 2015-21)



Graph 6. Chile: SARI cases/100 hospitalizations (sentinel surveillance) EW 47, 2022 (compared to 2015-21)
Casos de IRAG/100 hospitalizaciones (vigilancia centinela), SE 47 de 2022 (comparado con 2015-21)

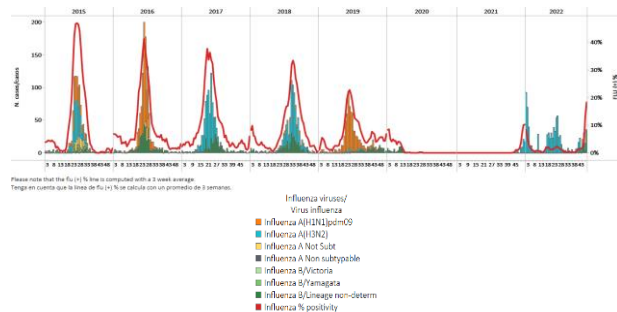




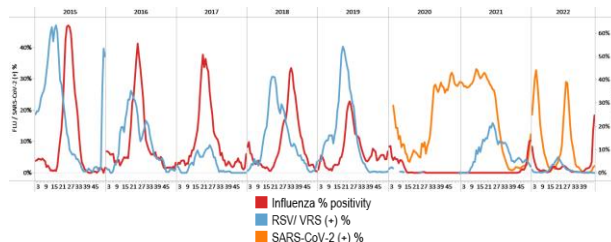
Paraguay

In EW 47, the percent positivity for influenza continued increasing, reaching the epidemic threshold and showing levels of intensity similar to the average of previous years. Influenza B (lineage undetermined) predominated, with influenza A(H1N1)pdm09 and A(H3N2) detections recorded. No RSV detections were registered (Graphs 1, 2, and 3). Four SARS-CoV-2 detections were recorded by EW 47 with 3.3% positivity (Graphs 2 and 4). SARI/100 hospitalizations at sentinel sites have shown a decreasing trend with activity at a low-intensity level above the average of previous seasons (Graph 5); in contrast, ILI cases/1000 outpatients remained stable at baseline levels (Graph 6). / En la SE 47 el porcentaje de positividad continuó en ascenso, casi superando el umbral epidémico y en niveles de intensidad similar al promedio de los años anteriores. Predominó influenza B (linaje indeterminado), registrándose detecciones de influenza A(H1N1)pdm09 y A(H3N2). No se registraron detecciones de VRS (Gráficos 1, 2 y 3). Se registraron cuatro detecciones de SARS-CoV-2 en la SE 47 con un 3,3 % de positividad (Gráficos 2 y 4). En los sitios centinela el número de casos de IRAG por cada 100 hospitalizaciones ha mostrado una tendencia decreciente con un nivel de actividad de baja intensidad por encima del promedio de temporadas anteriores (Gráfico 5); en cambio, el número de casos de ETI por cada 1000 pacientes ambulatorios se mantuvo estable en los niveles basales (Gráfico 6).

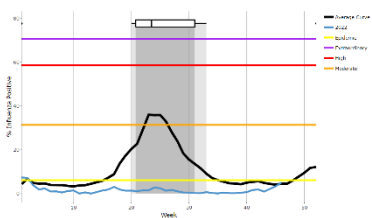
Graph 1. Paraguay: Influenza virus distribution
EW 47, 2015-22
Distribución de virus de influenza,
SE 47, 2015-22



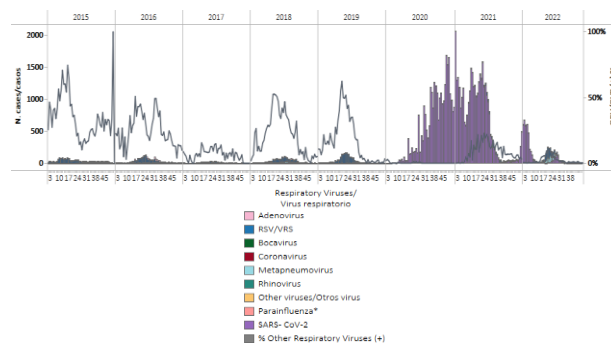
Graph 2. Paraguay: Influenza, RSV, and SARS-CoV-2 distribution,
EW 47, 2015-21
Distribución de los virus influenza, VRS y SARS-CoV-2,
SE 47, 2015-21



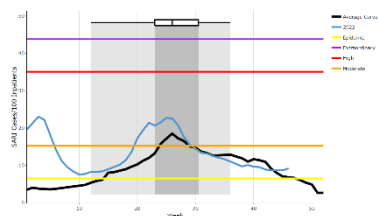
Graph 3. Paraguay: Percent positivity for influenza, EW 47, 2022
(in comparison to 2010-21)
Porcentaje de positividad de influenza, SE 47 de 2022
(comparado con 2010-21)



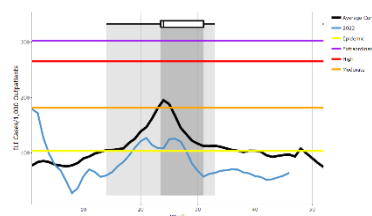
Graph 4. Paraguay: RSV, SARS-CoV-2, and other respiratory
viruses distribution, EW 47, 2015-22
Distribución del VRS, SARS-CoV-2 y otros virus respiratorios,
SE 47, 2015-22



Graph 5. Paraguay: Number of SARI cases / 100 inpatients
EW 47, 2022 (compared to 2015-21)
Número de casos de IRAG / 100 hospitalizaciones, SE 47 de 2022
(comparado con 2015-21)



Graph 6. Paraguay: ILI cases/1000 outpatients, EW 47, 2022
(compared to 2015-21)
Casos de ETI por cada 1000 consultas ambulatorias, SE 47 de
2021 (comparado con 2015-21)

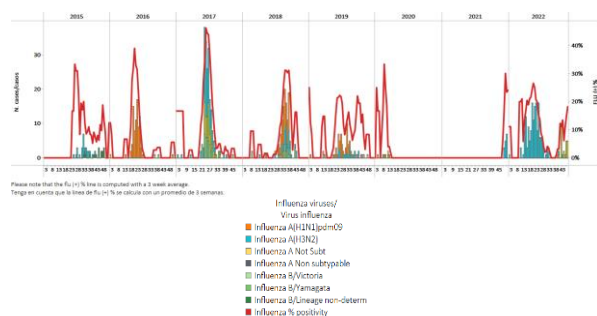




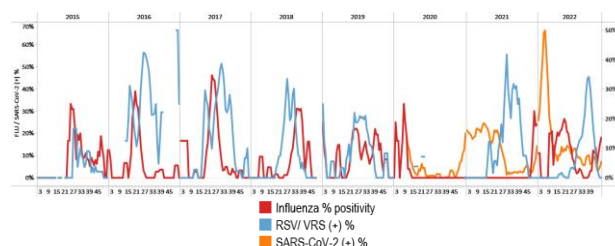
Uruguay

In EW 47, influenza B/Victoria detections were recorded. Percent positivity increased above the average of previous seasons at a low-intensity level for this time of year (Graphs 1 and 3). No respiratory syncytial virus detections were recorded. Of 27 samples tested for SARS-CoV-2, 7.4% were positive (Graph 2). In addition, SARI cases/100 hospitalizations at sentinel sites increased compared to the previous week above the average of prior seasons for this time of year remaining at a low-intensity level (Graph 4). / En la SE 47 se registraron detecciones de influenza B/Victoria. El porcentaje de positividad aumentó por encima del promedio de temporadas anteriores ubicándose en un nivel de intensidad bajo para esta época del año (Gráficos 1 y 3). No se registraron detecciones de virus respiratorio sincitial. De 27 muestras analizadas para SARS-CoV-2, el 7,4 % resultaron positivas (Gráfico 2). Además, en sitios centinela, el número de casos de IRAG por cada 100 hospitalizaciones aumentó respecto a la semana anterior por encima del promedio de temporadas anteriores para esta época del año manteniéndose en un nivel de baja intensidad (Gráfico 4).

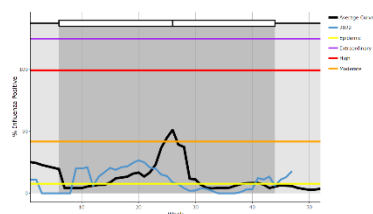
Graph 1. Uruguay: Influenza virus distribution EW 47, 2015-22
Distribución de virus de influenza, SE 47, 2015-22



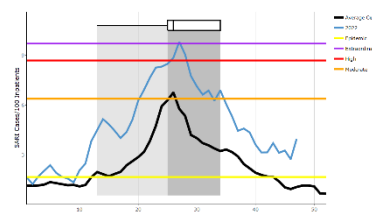
Graph 2. Uruguay: Influenza and RSV distribution, EW 47, 2015-22
Distribución de los virus influenza y VRS, SE 47, 2015-22



Graph 3. Uruguay: Percent positivity for influenza, EW 47, 2022
(compared to 2010-21)
Porcentaje de positividad de influenza, SE 47 de 2022
(comparado con 2010-21)



Graph 4. Uruguay: SARI cases/100 hospitalizations
(sentinel surveillance), EW 47, 2022 (compared to 2017-21)
Casos de IRAG por cada 100 hospitalizaciones (vigilancia centinela),
SE 47 de 2022 (comparado con 2017-21)





TECHNICAL NOTE

Average Curves

Average curves for influenza-like illness (ILI), acute respiratory infection (ARI), pneumonia, and severe acute respiratory infection (SARI) were generated using the WHO Average Curve App.

In the report, the average curve is shown in black and the ongoing season is shown in blue. The average curve shows a typical season in terms of both timing and intensity. The distribution of past seasonal peaks is shown with a boxplot and vertical shading. Thresholds depicting the intensity of activity are shown with colored lines⁵.

Viral distribution by year and epidemiological week

Please note that the percent positivity line of influenza and other respiratory virus is computed with a three (3) week average⁶.

NOTA TÉCNICA

Curvas promedio

Las curvas promedio para la enfermedad tipo influenza (ETI), infección respiratoria aguda (IRA), neumonía e infección respiratoria aguda grave (IRAG) se generaron utilizando la aplicación de Curva promedio de la OMS.

En el informe, la curva promedio se muestra en negro y la temporada en curso se muestra en azul. La curva promedio muestra una temporada típica en términos de tiempo e intensidad. La distribución de los picos estacionales anteriores se muestra con un diagrama de caja y sombreado vertical. Los umbrales que representan la intensidad de la actividad se muestran con líneas de colores⁵.

Distribución de los virus por año y semana epidemiológica

Tenga en cuenta que la línea del porcentaje de positividad para influenza y los otros virus respiratorios se calcula con un promedio de tres (3) semanas⁶.

⁵ WHO (2021), WHO Average Curves software, Version 0.3 (9 Oct 2019), © Copyright World Health Organization (WHO), Geneva.

⁶ World Health Organization. (2013). Global epidemiological surveillance standards for influenza. World Health Organization.

<https://apps.who.int/iris/handle/10665/311268>



ACRONYMS

ARI	Acute respiratory infection
CARPHA	Caribbean Public Health Agency
EW	Epidemiological week
ILI	Influenza-like illness
NIH	National Institute of Health
ORV	Other respiratory viruses
SARI	Severe acute respiratory infection
ICU	Intensive care unit
RSV	Respiratory syncytial virus

ACRÓNIMOS

CARPHA	Agencia de Salud Pública del Caribe
ETI	Enfermedad tipo influenza
INS	Instituto Nacional de Salud
IRA	Infección respiratoria aguda
IRAG	Infección respiratoria aguda grave
OVR	Otros virus respiratorios
SE	Semana epidemiológica
UCI	Unidad de cuidados intensivos
VRS	Virus respiratorio sincitial





SARInet plus
Severe Acute Respiratory Infections Network

PAHO



Pan American
Health
Organization



World Health
Organization
REGIONAL OFFICE FOR THE
Americas

OPS



Organización
Panamericana
de la Salud



Organización
Mundial de la Salud
OFICINA REGIONAL PARA LAS
Américas

2022